

Cours à Option de Neuroradiologie

RDGN 2120 2019-2020

Tumeurs cérébrales

Année académique 2019-2020



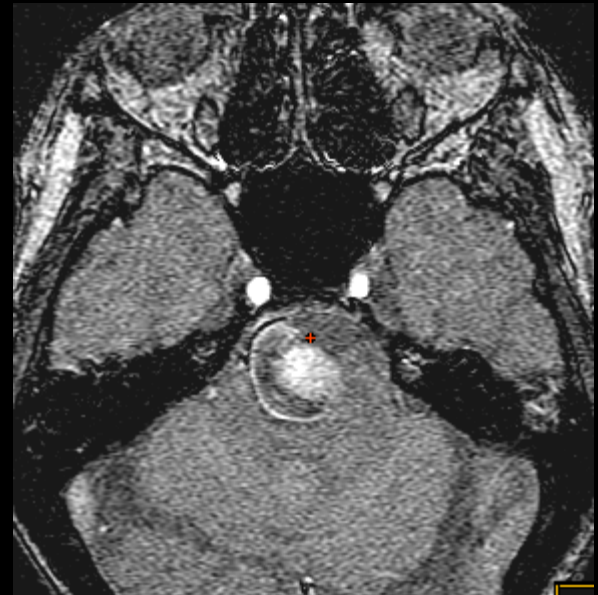
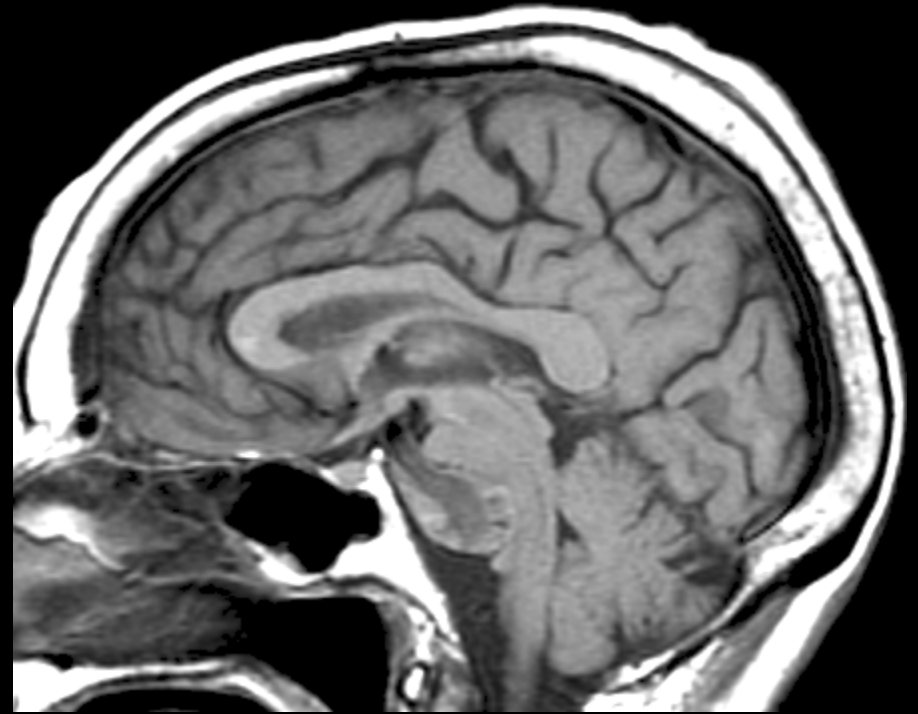
Dr Thierry Duprez
Professeur clinique (UCL)
Chef de Clinique (UCL-St-Luc)
<http://www.uclimaging.be>
<http://www.saintluc.be>
<http://www.centreducancer.be>

Septième cours 31 octobre 2019

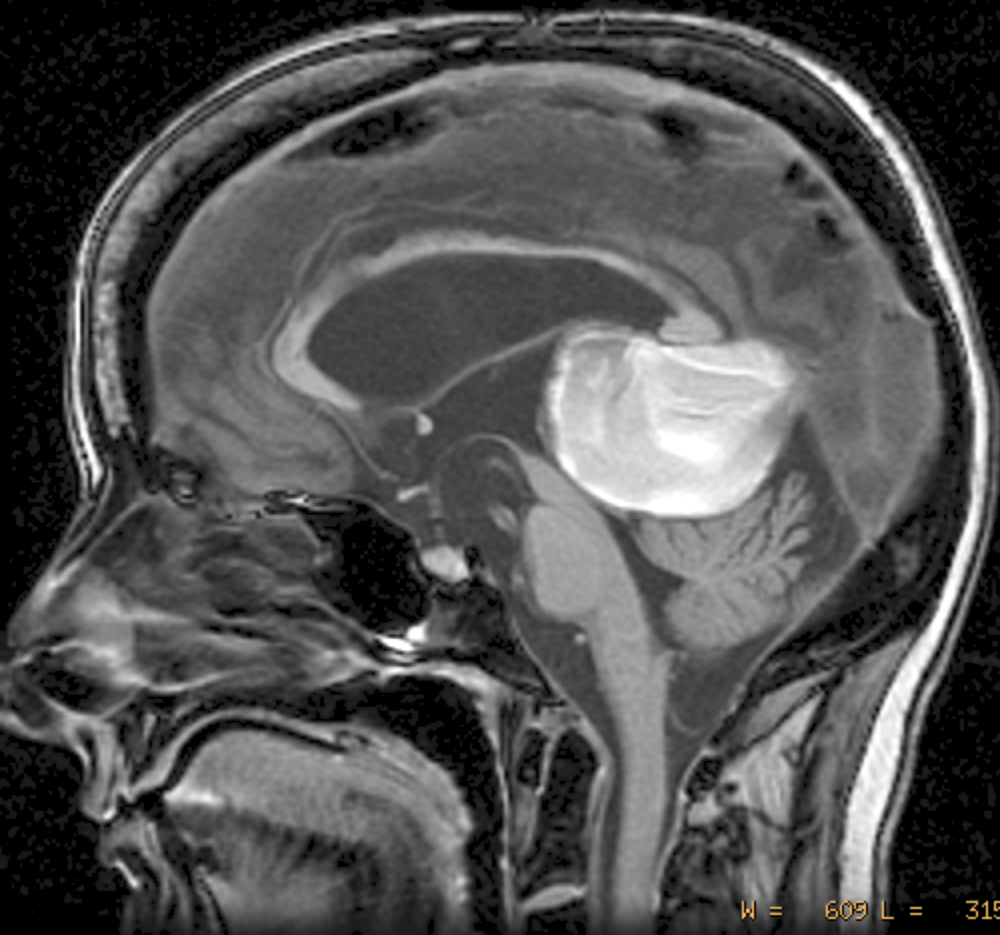


-une masse n'est pas toujours une tumeur

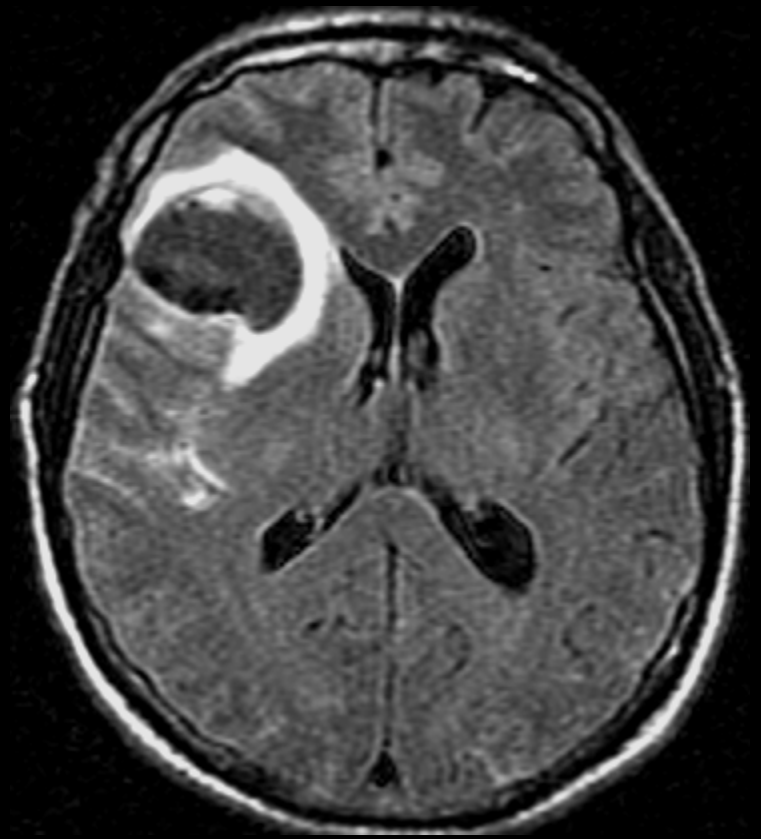
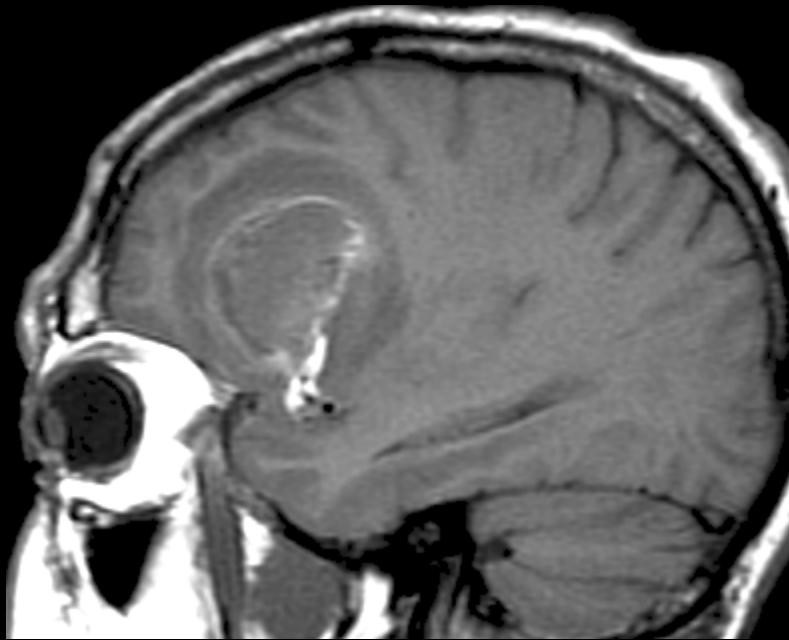
-une tumeur n'est pas toujours une masse



Anévrysme artériel

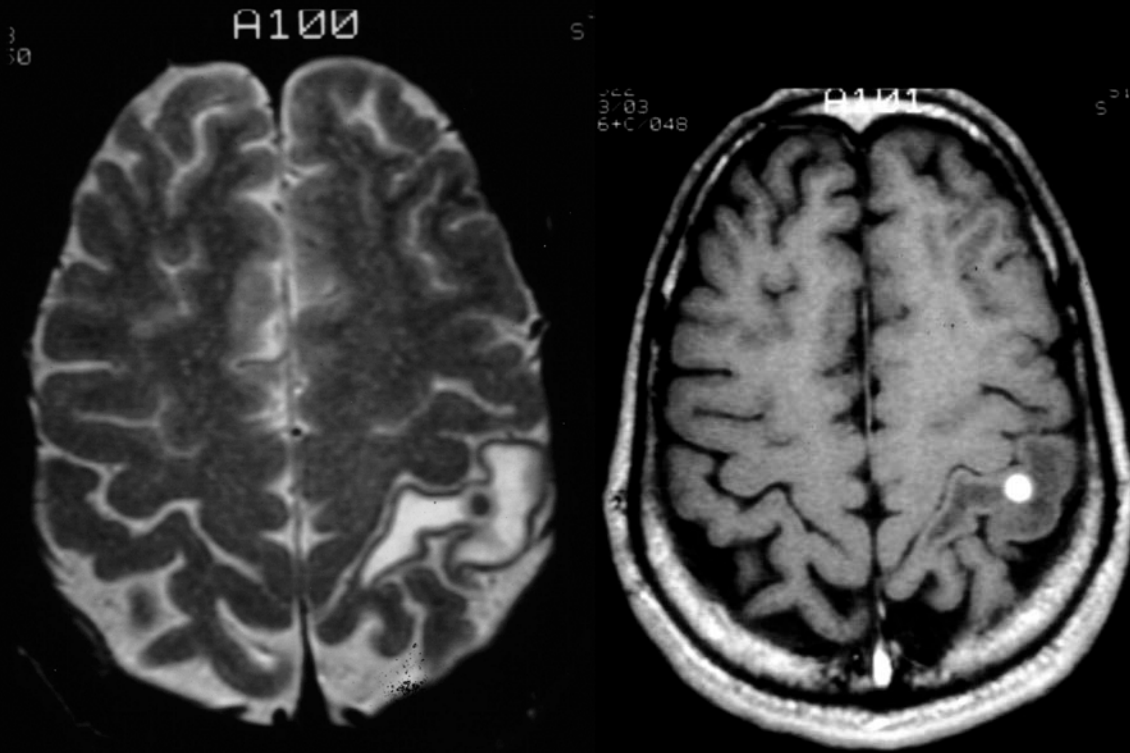


Anévrysme veineux



Hématome

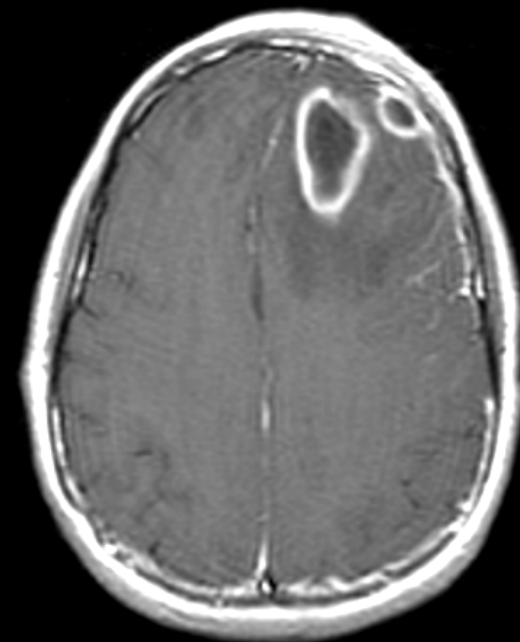
Nodules et masses non tumoraux



Granulome toxoplasmique

Infection

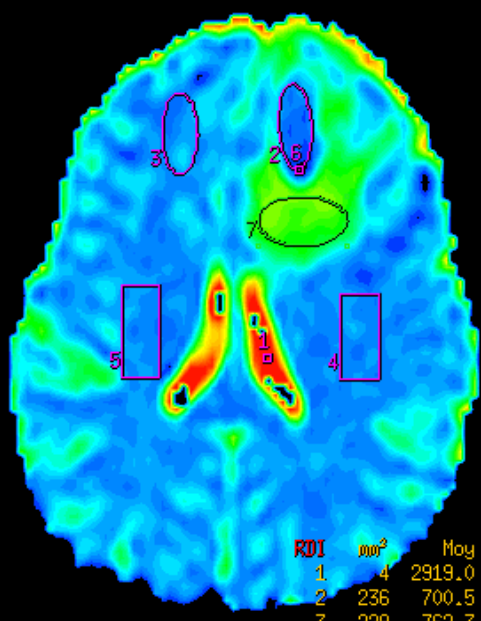
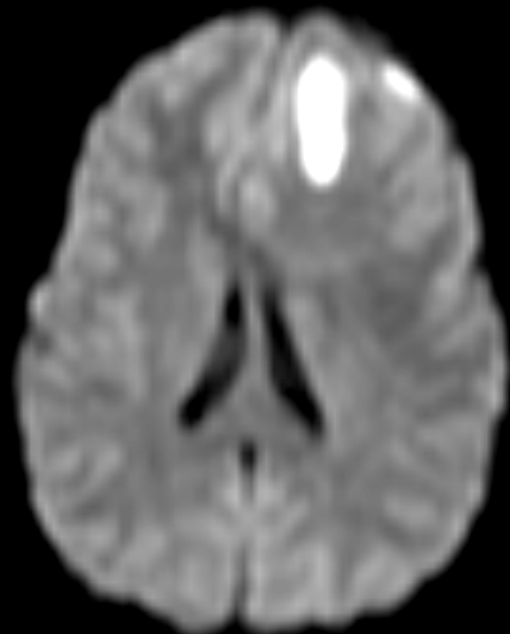
infection
vs
tumeur



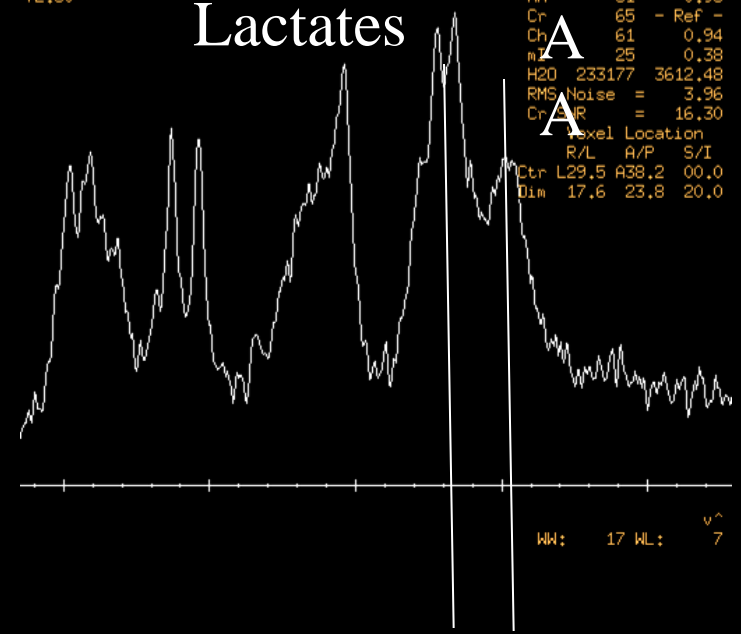
Abcès

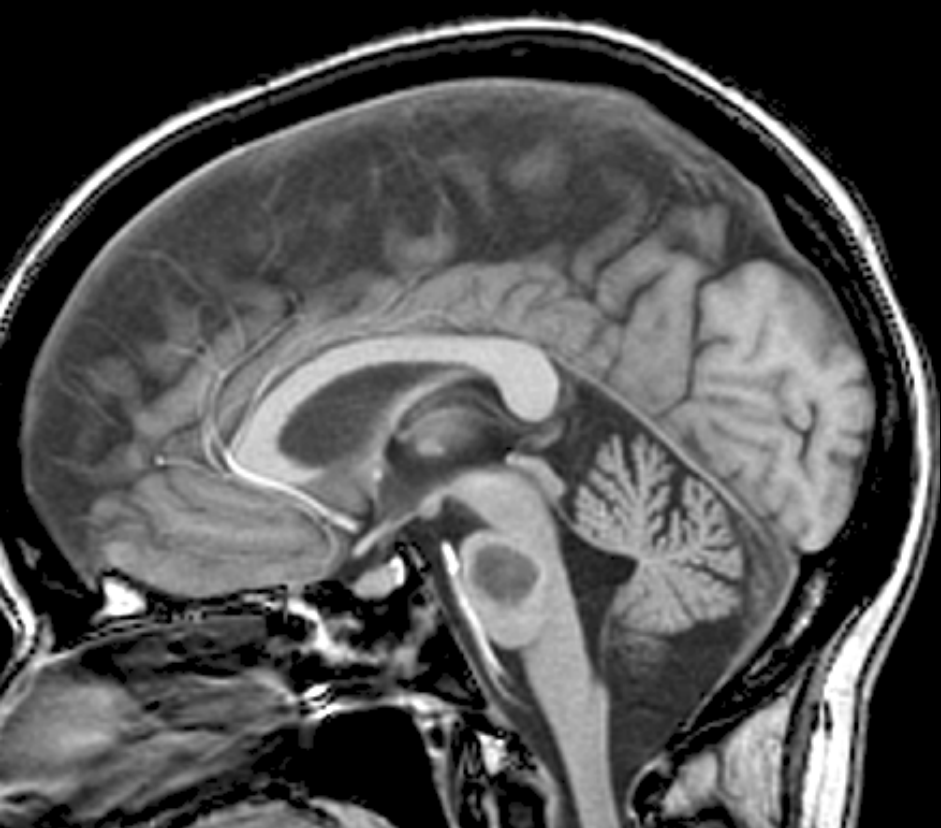
Wk: 348

Wk: 642 WL: 476
TR:1900
TE:30



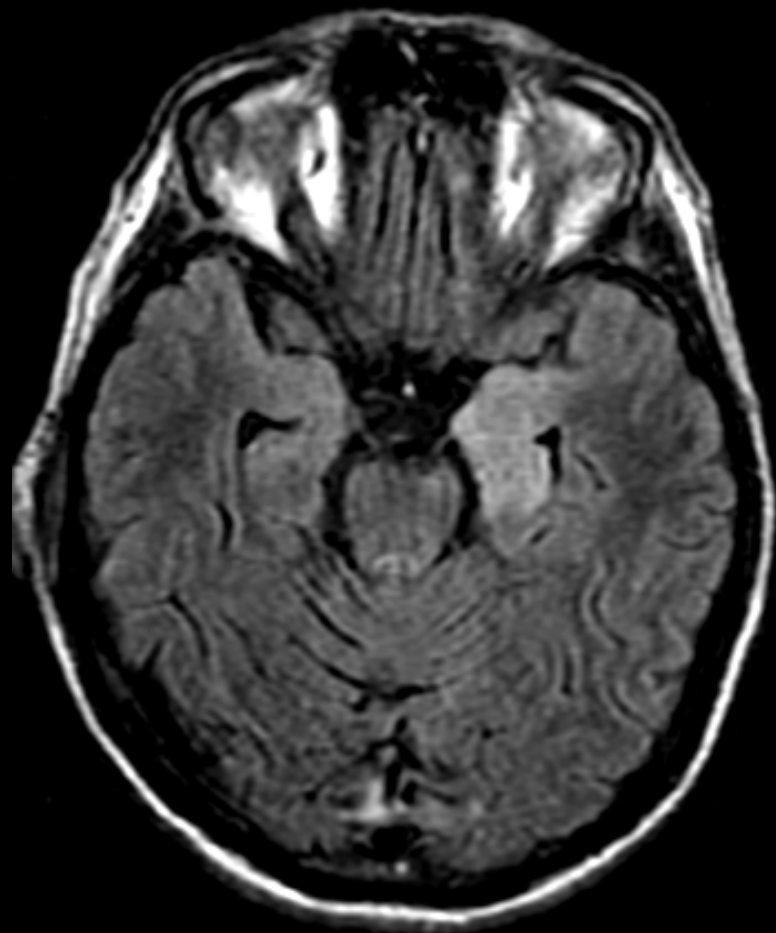
Lactates



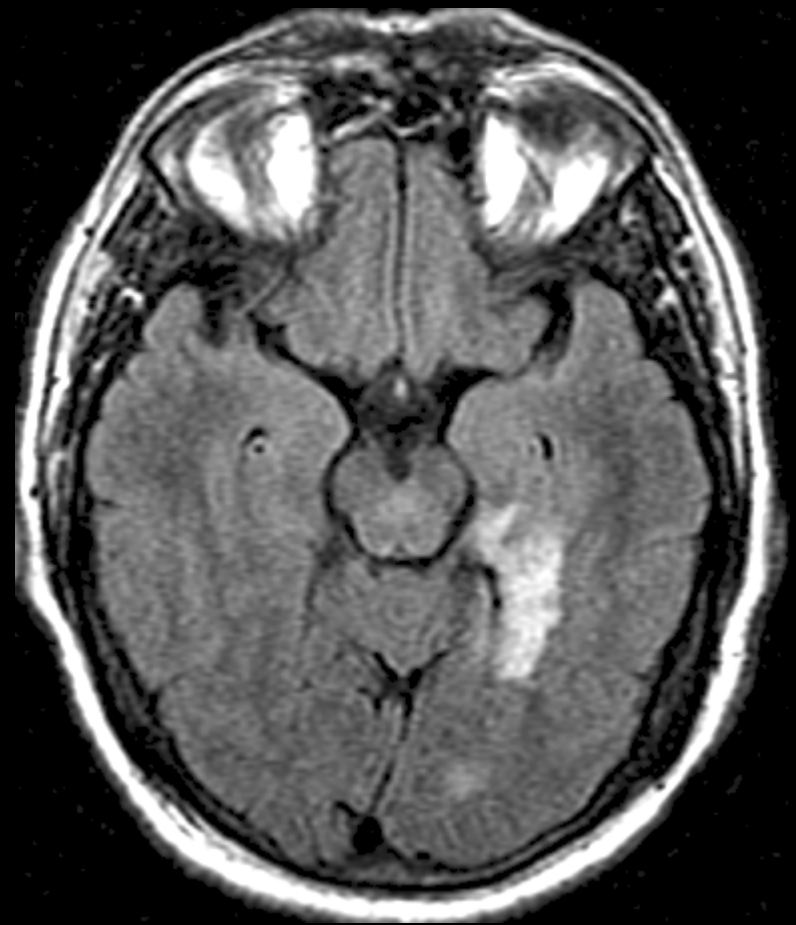


SEP

Encéphalite
herpétique



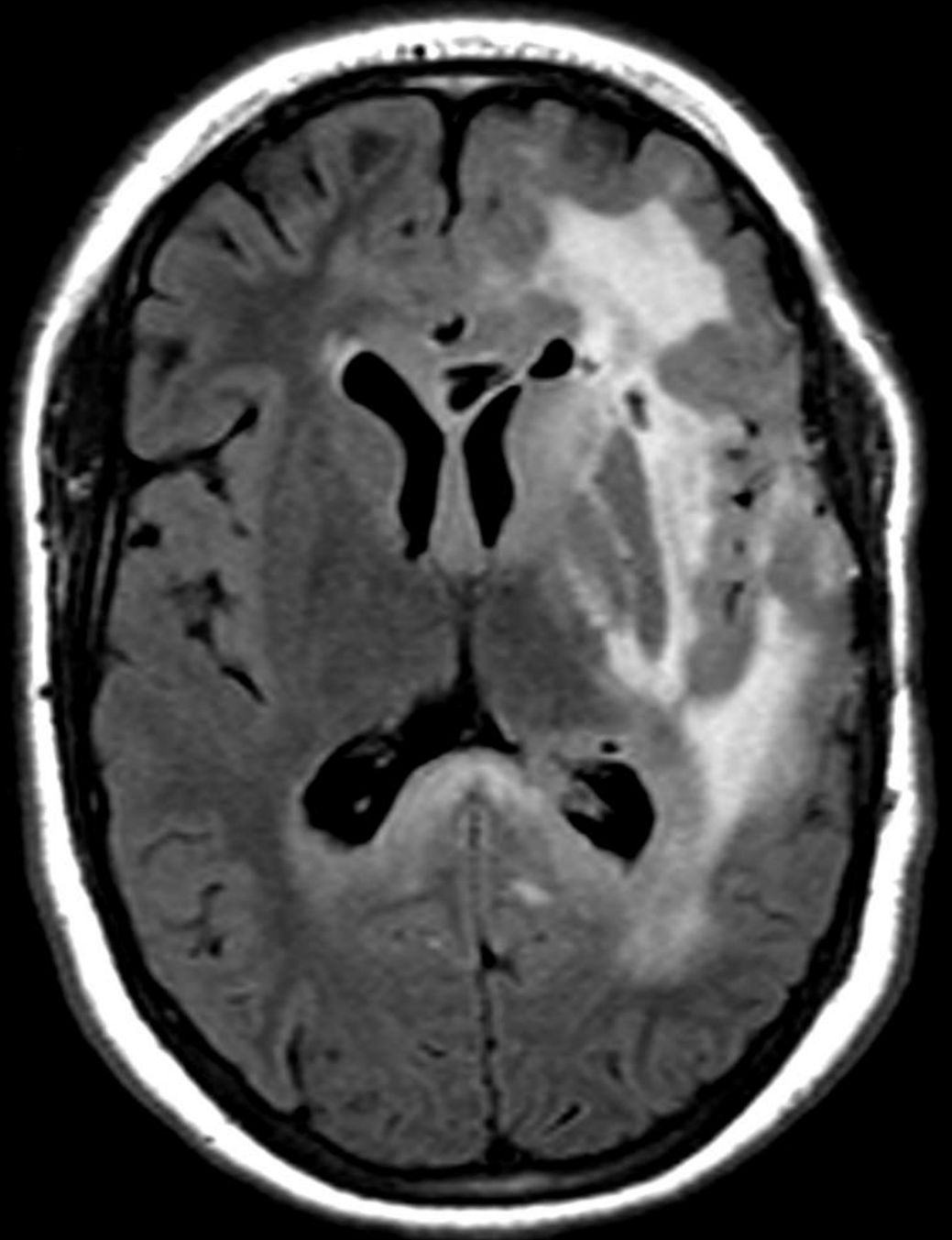
Astrocytome



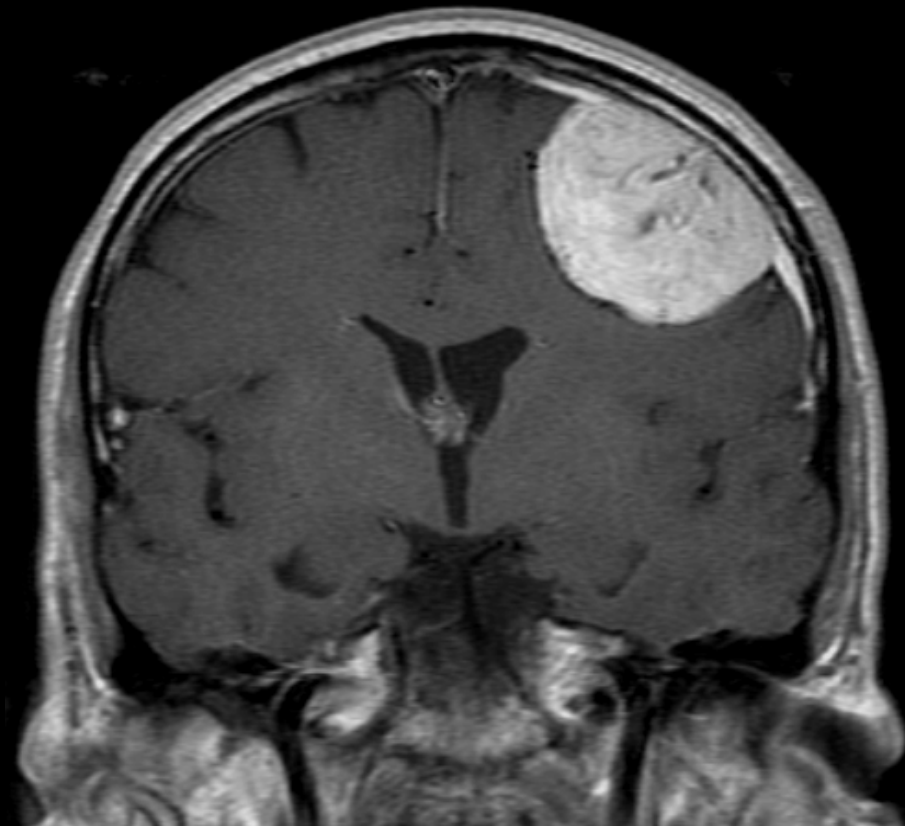
Si une masse n'est pas toujours une tumeur...

une tumeur n'est pas toujours une masse

Gliomatose cérébrale



Tumeurs extra-cérébrales



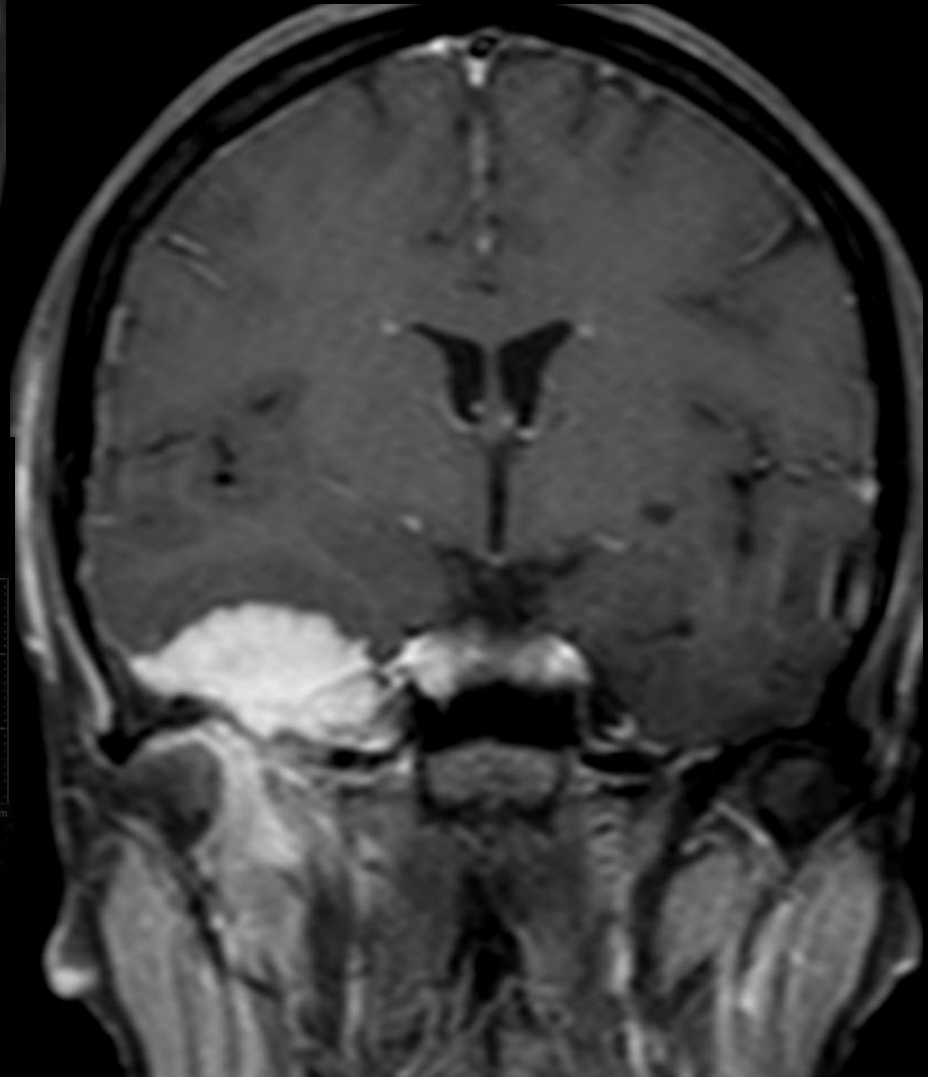
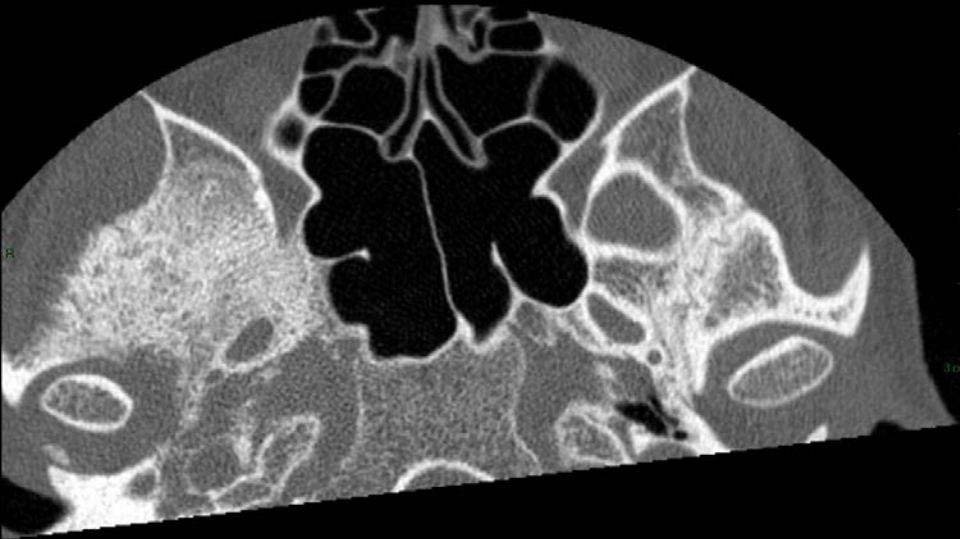
WW: 413 WL: 305

méningiome

**insertion méningée
épaississement et hyperémie
queue de comète**

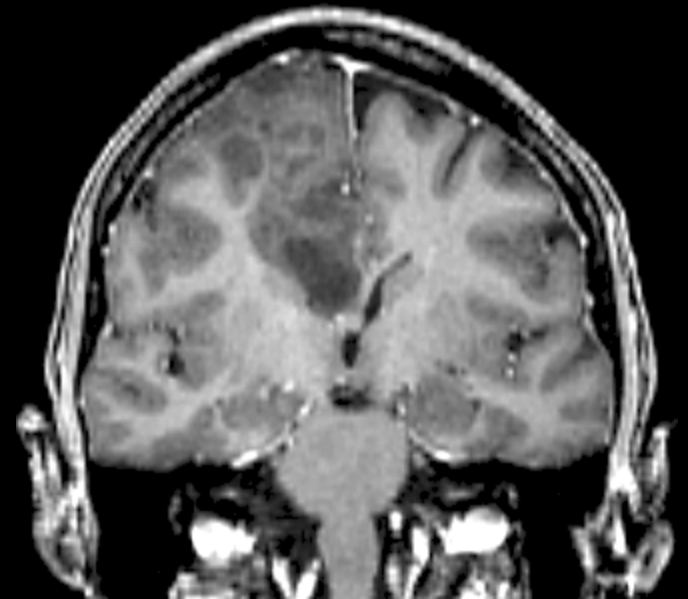
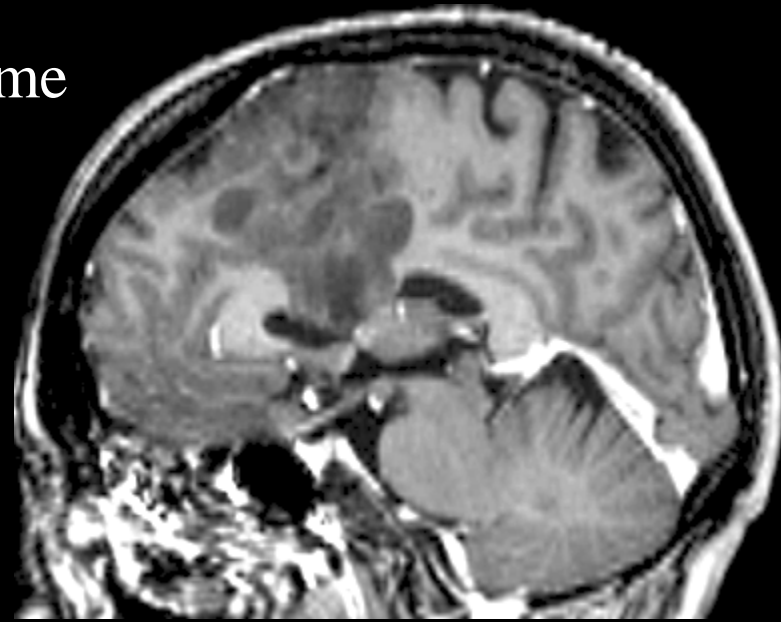
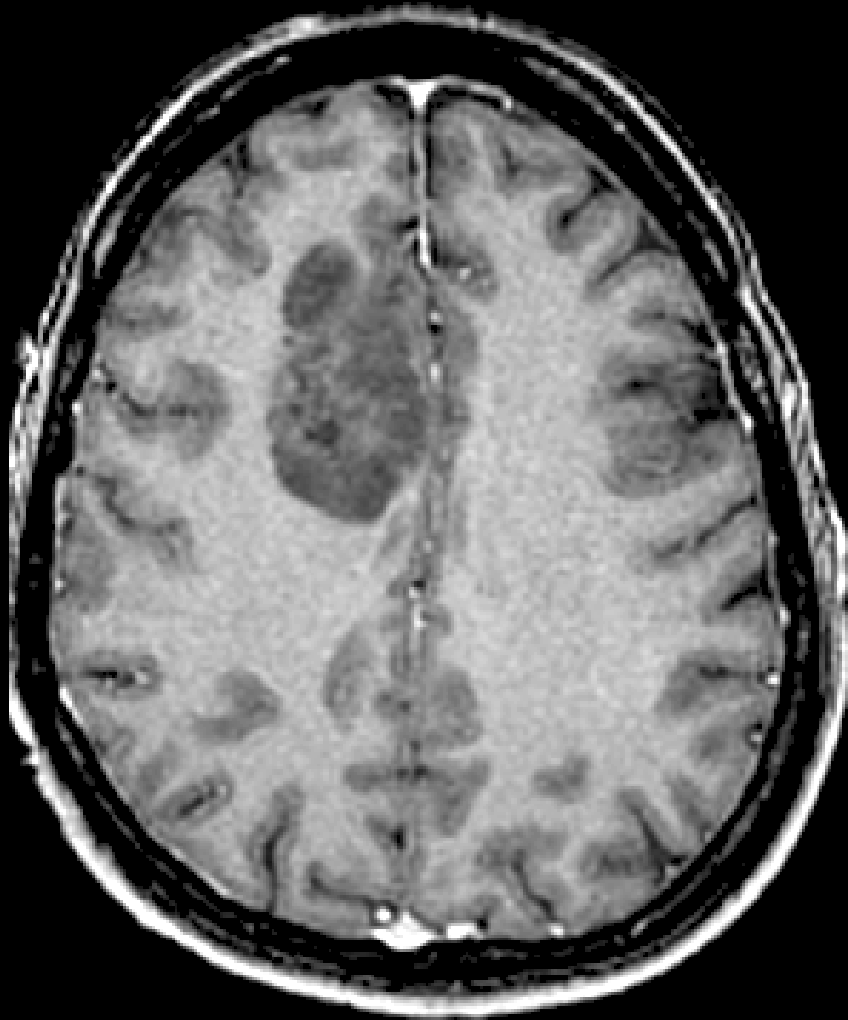
Vaisseaux en interface

anomalies osseuses
envahissement
→ hyperostose

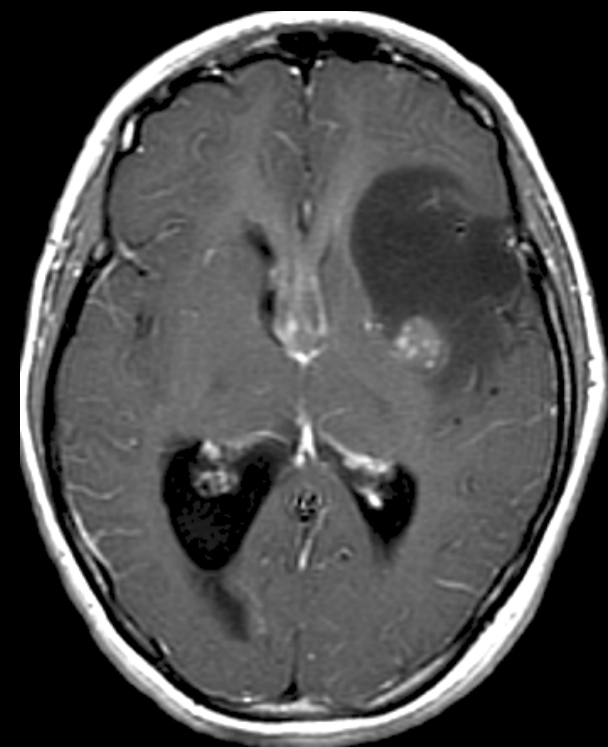
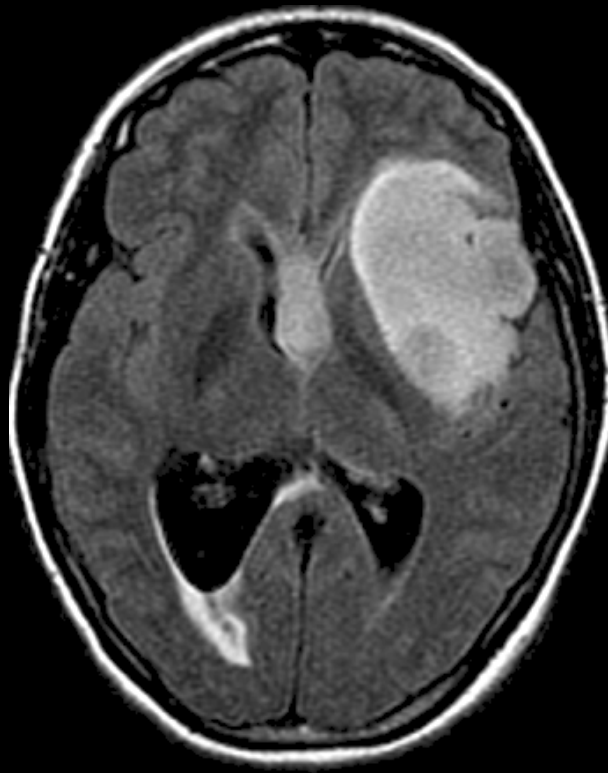


Tumeurs intra-cérébrales

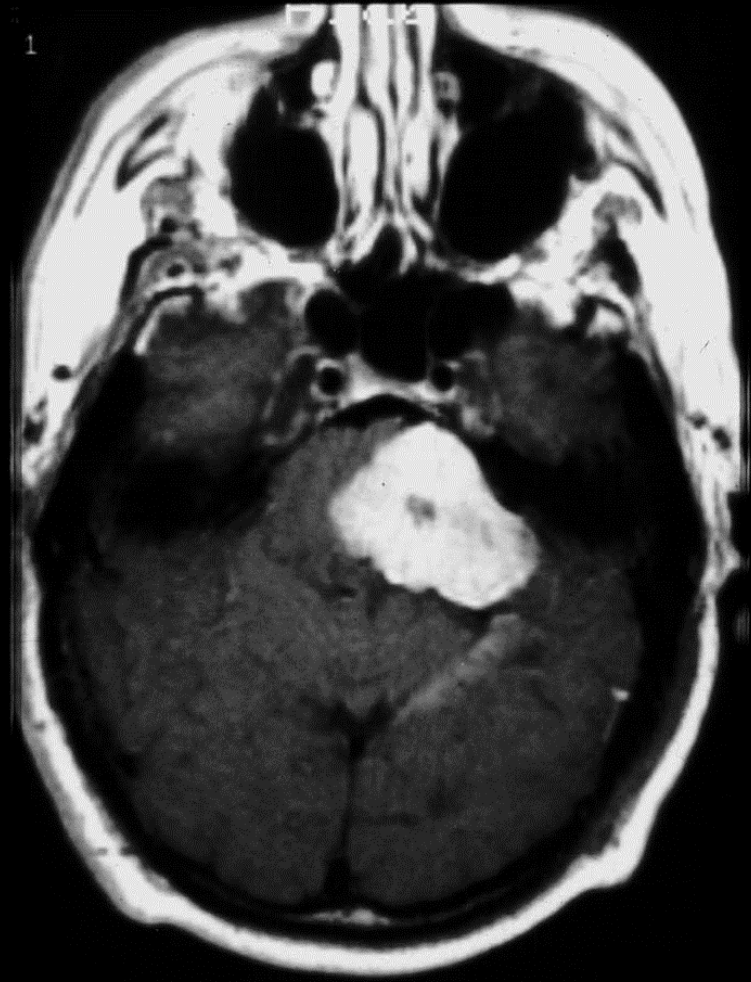
oligodendrogliome



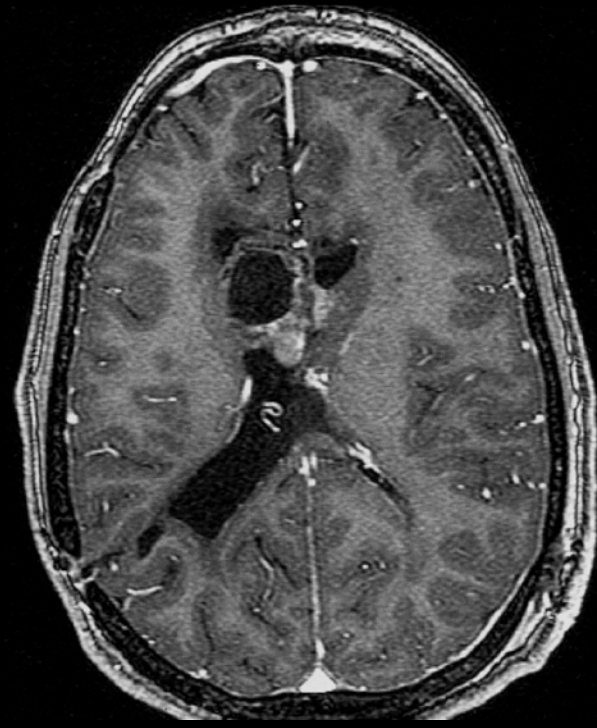
astrocytome



1- Calcifications

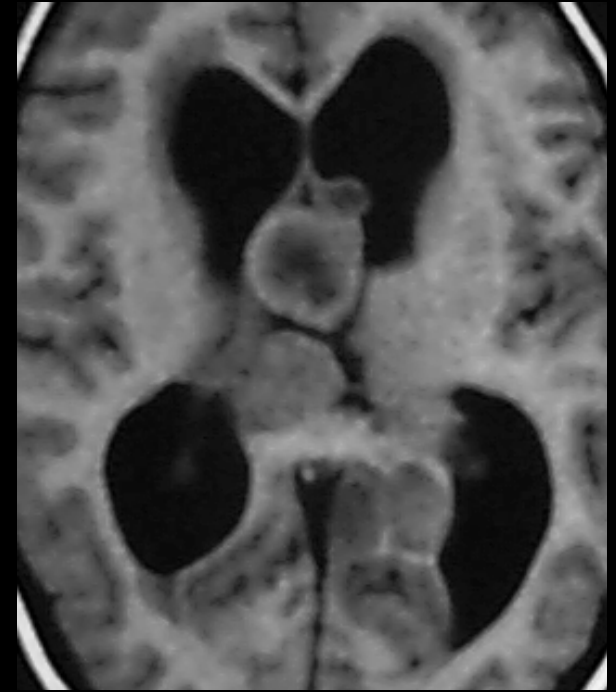
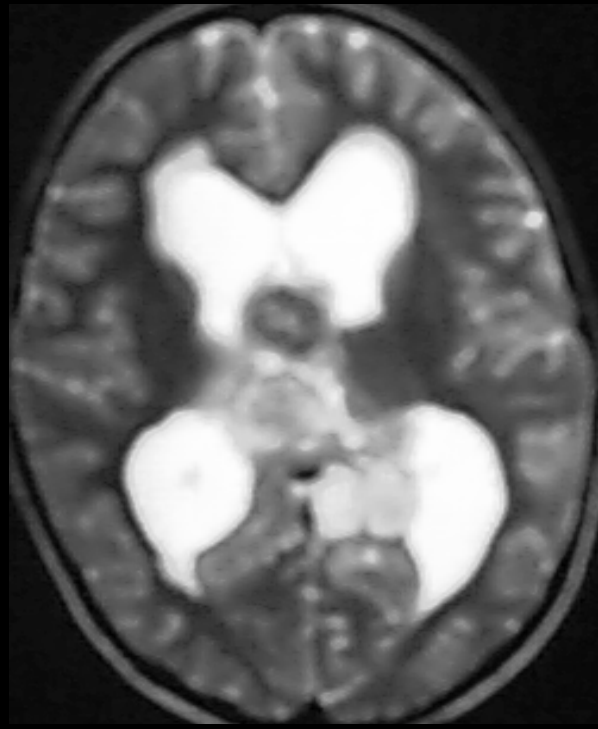


Aspect le plus classique
Noir à toutes séquences



astrocytome subependymaire

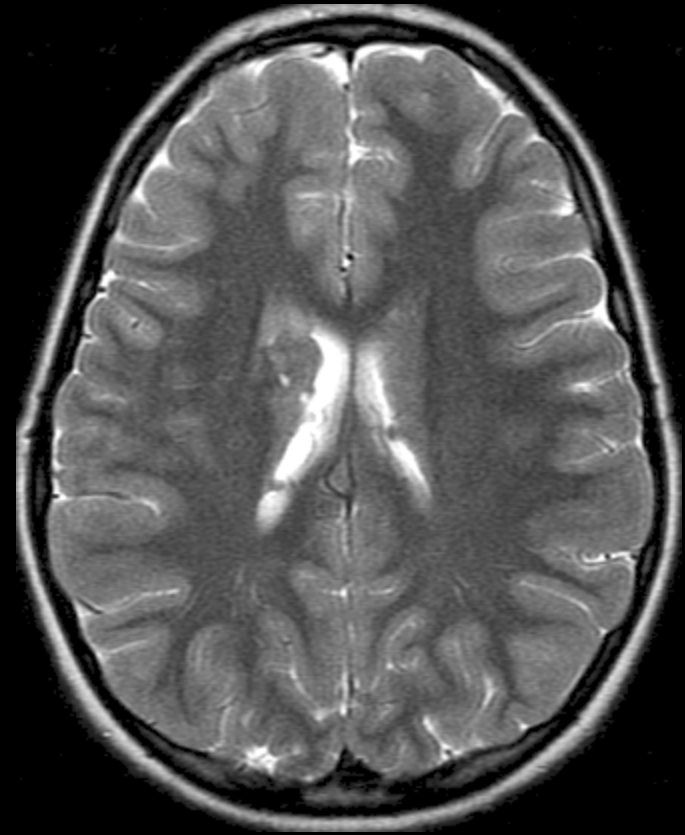
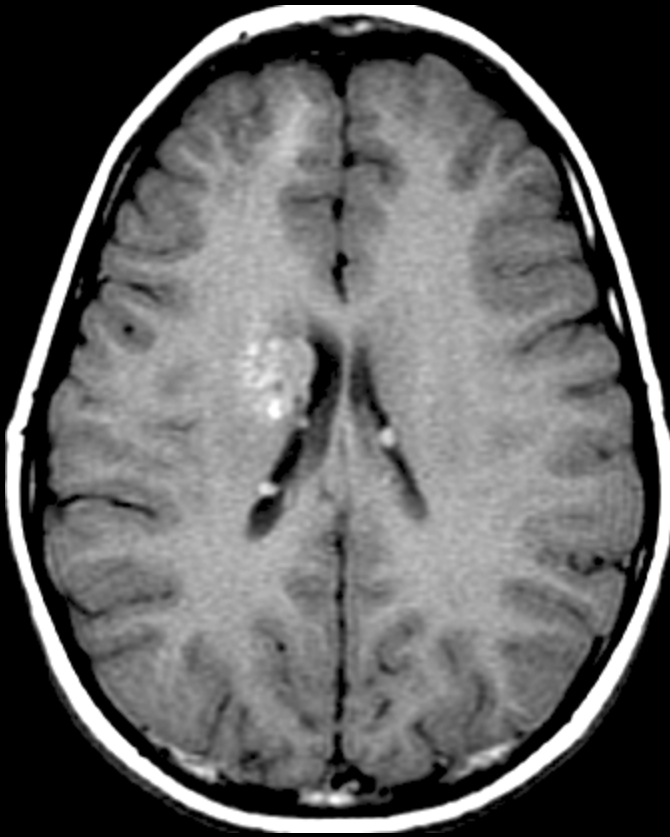
Calcifications



Astrocytome sous épendymaire

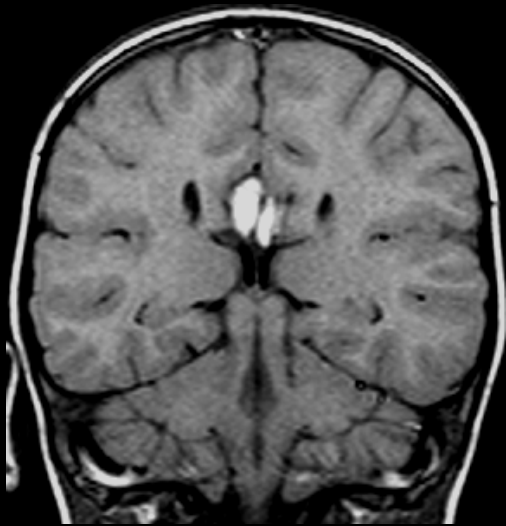
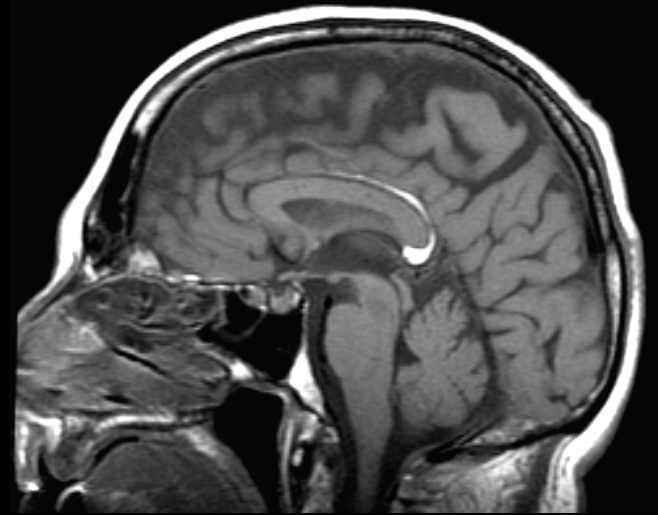
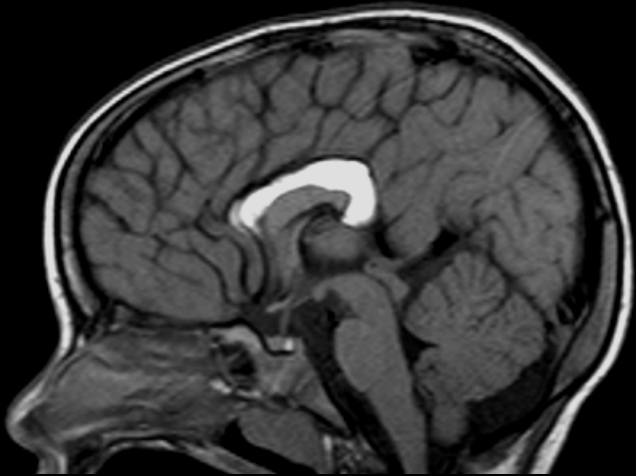
Calcifications

Aspect inhabituel
Hyper T1



Tuber sous épendymaire STB

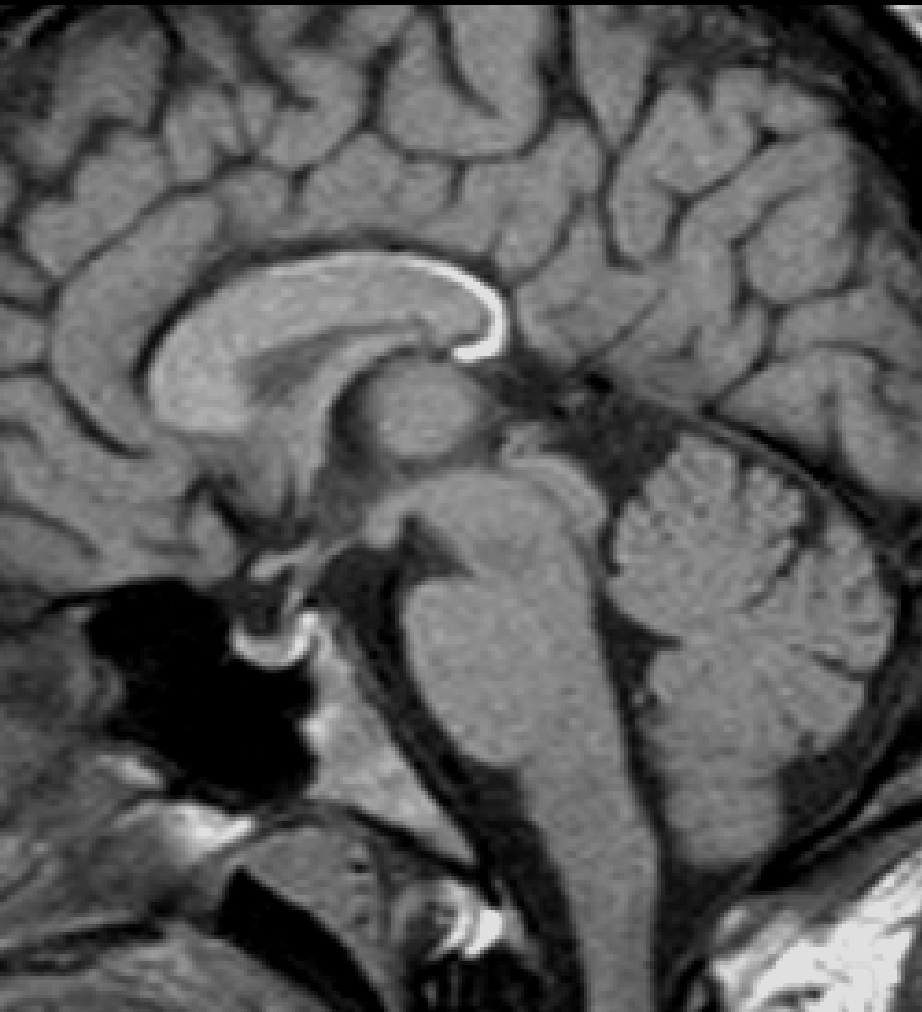
2-Graisse



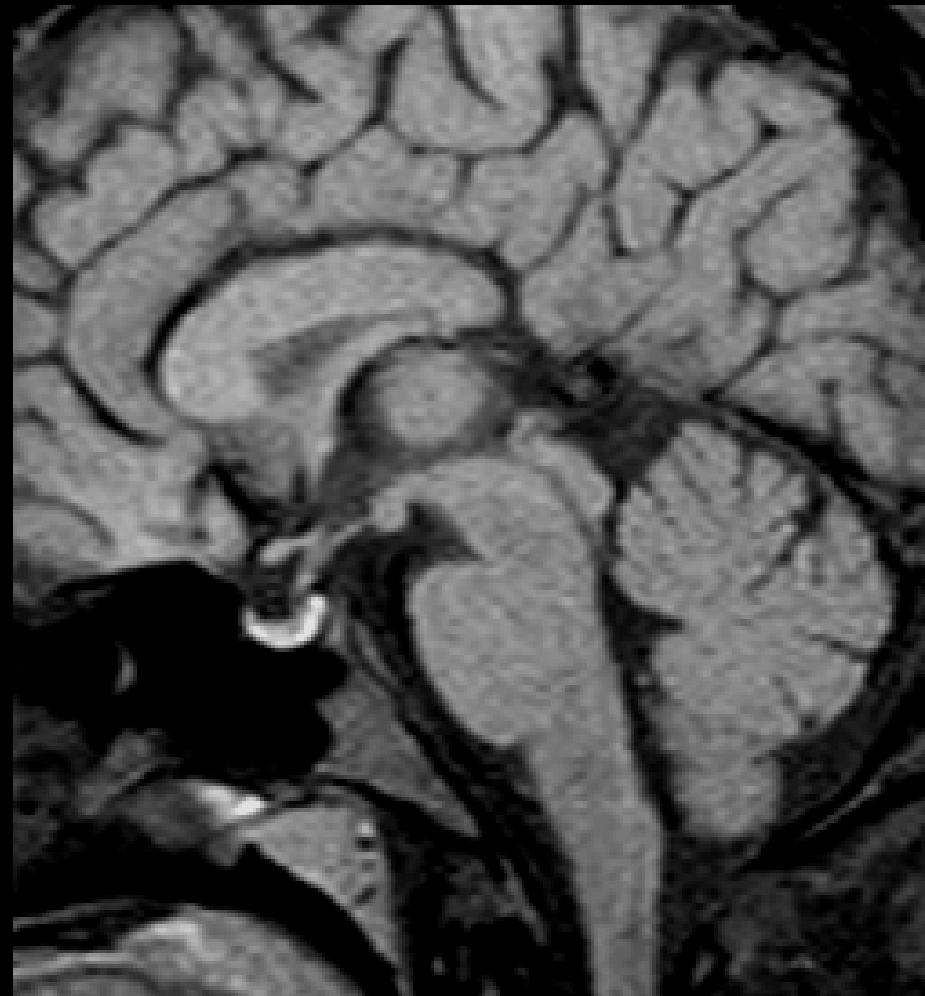
**Lipome du
corps calleux**



T1

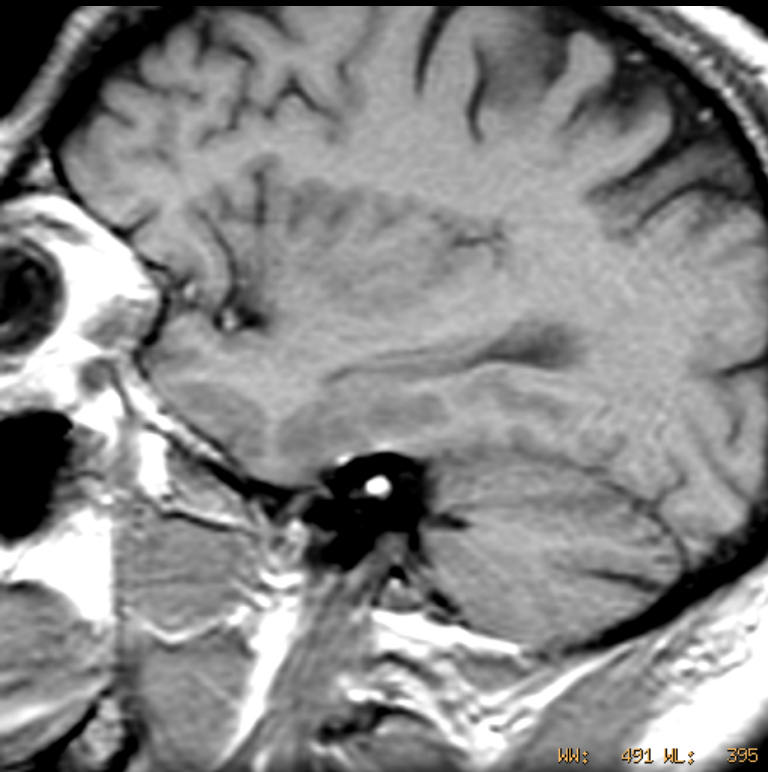


T1 suppression de graisse



Lipome du corps calleux

pellier



Lipome du CAI



**Jamais Gadolinium
d'emblée**

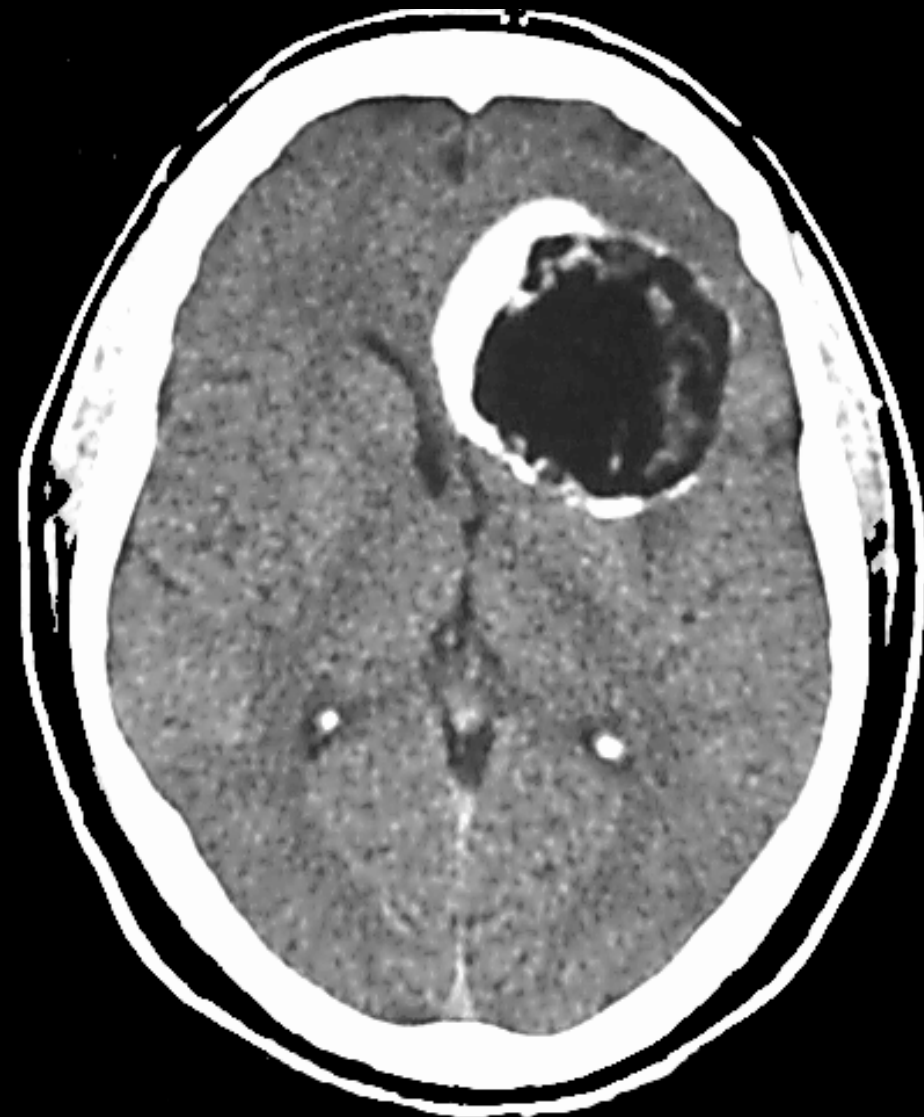
T1

T1 suppression de graisse

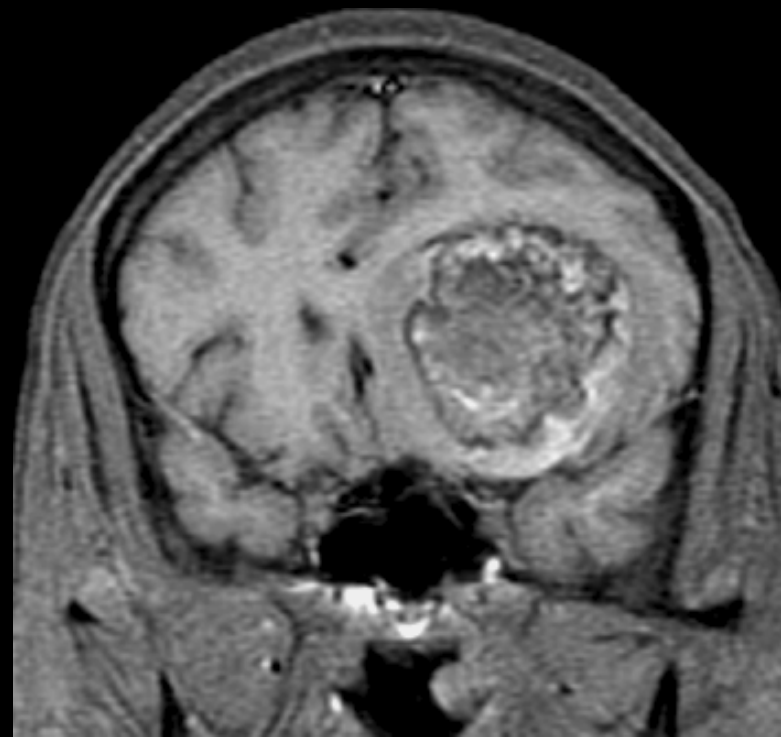
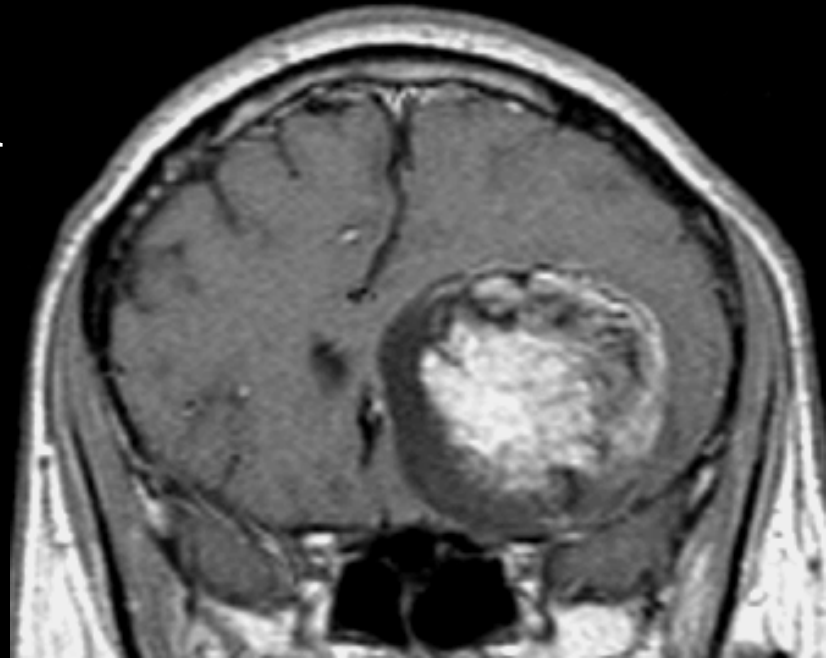


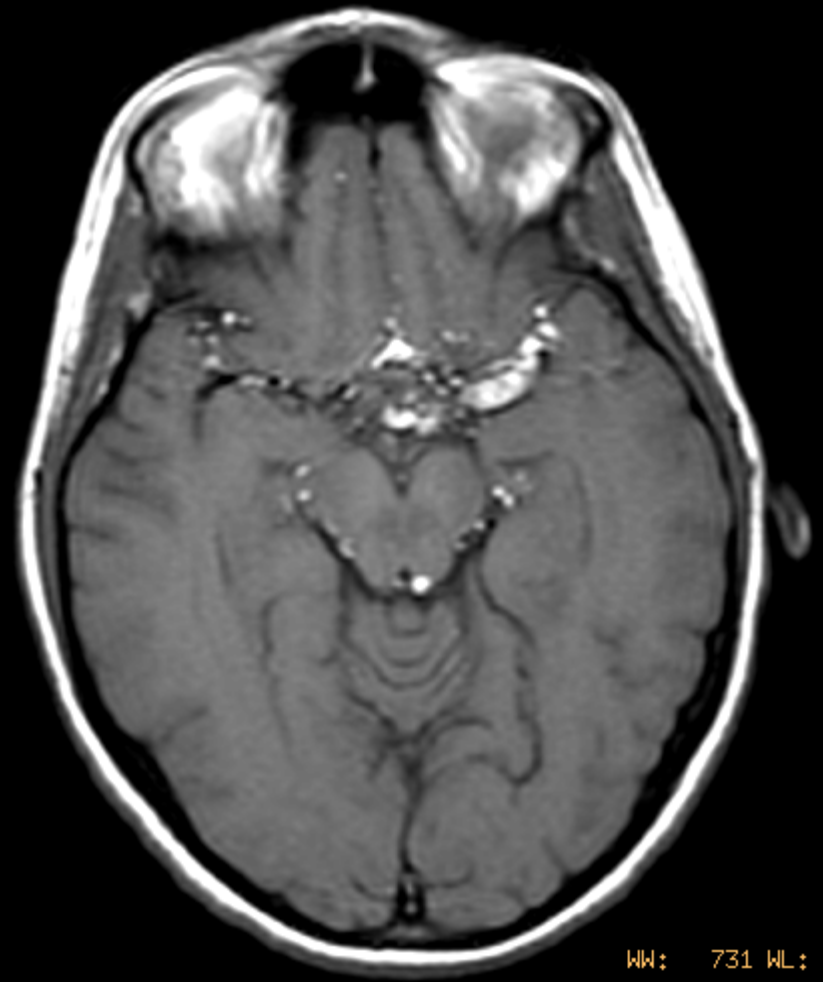
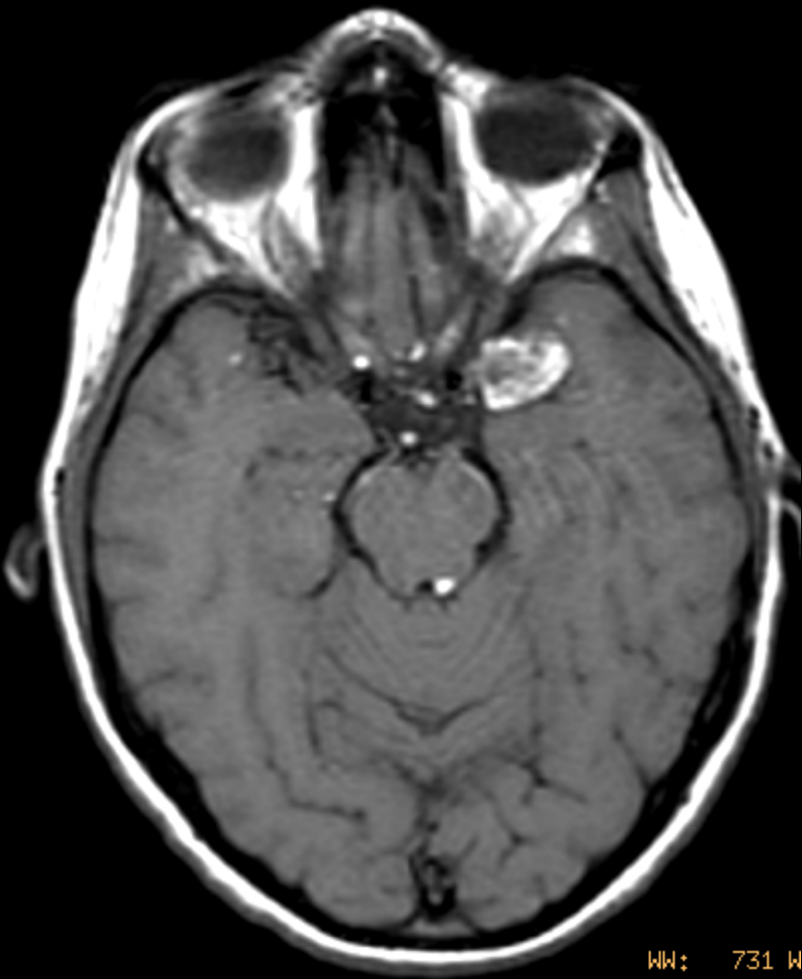
Lipome du CAI

Graisse et calcification



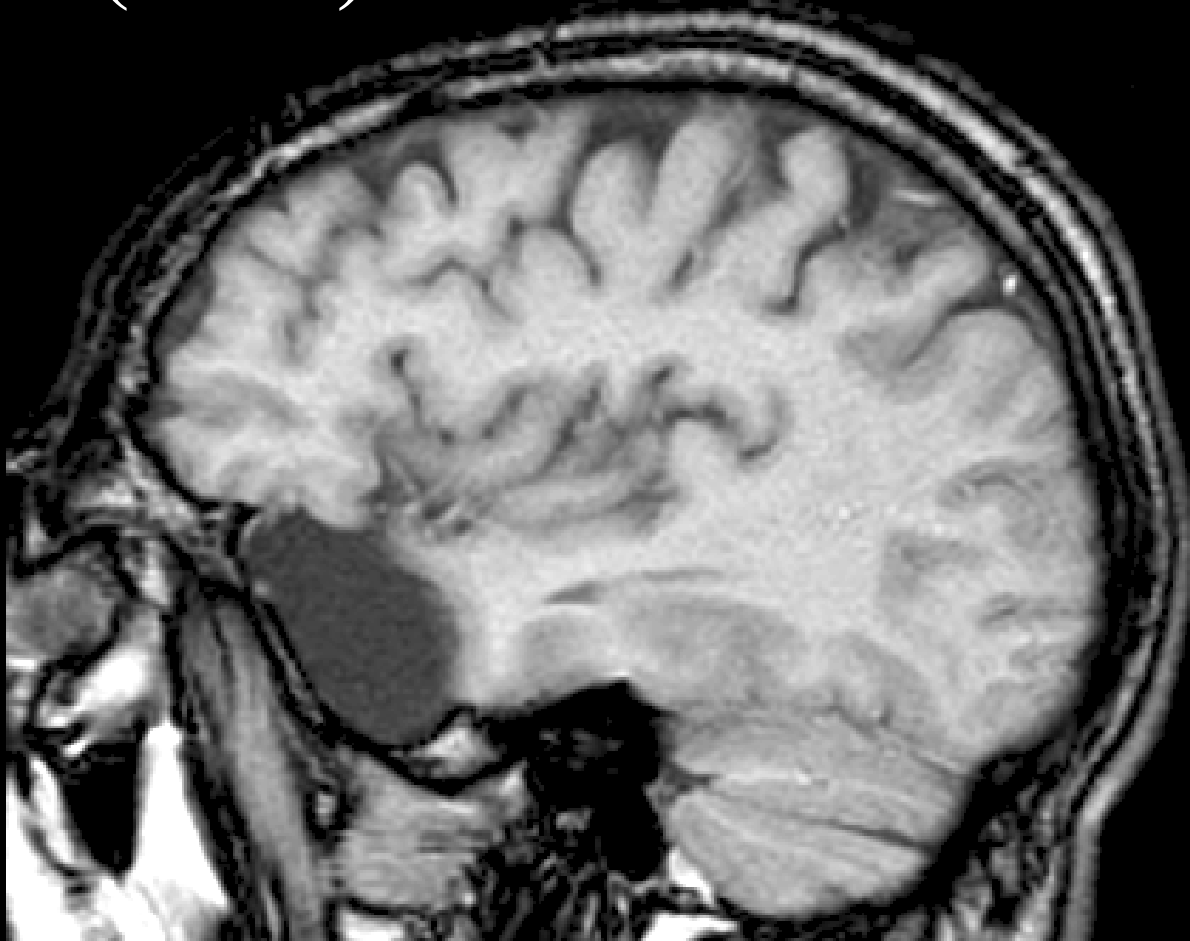
Kyste dermoïde



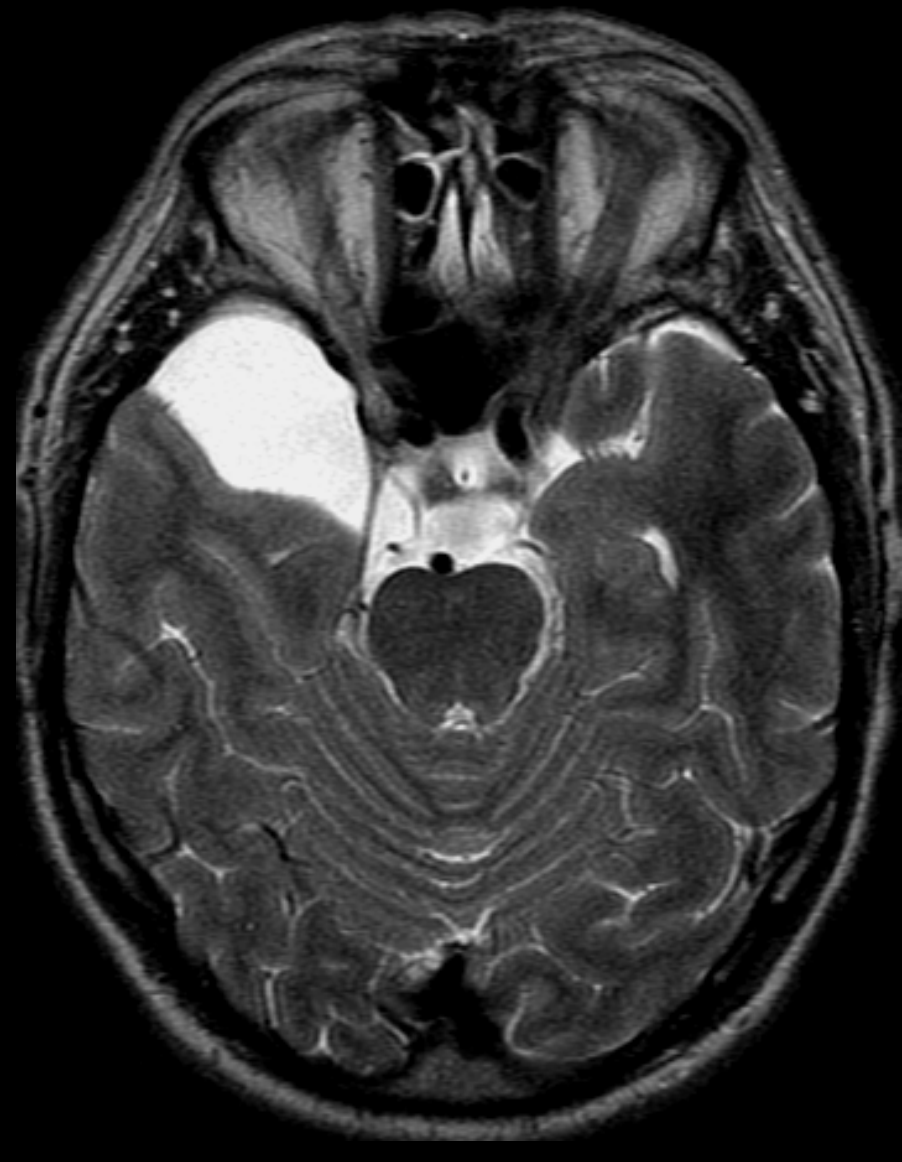
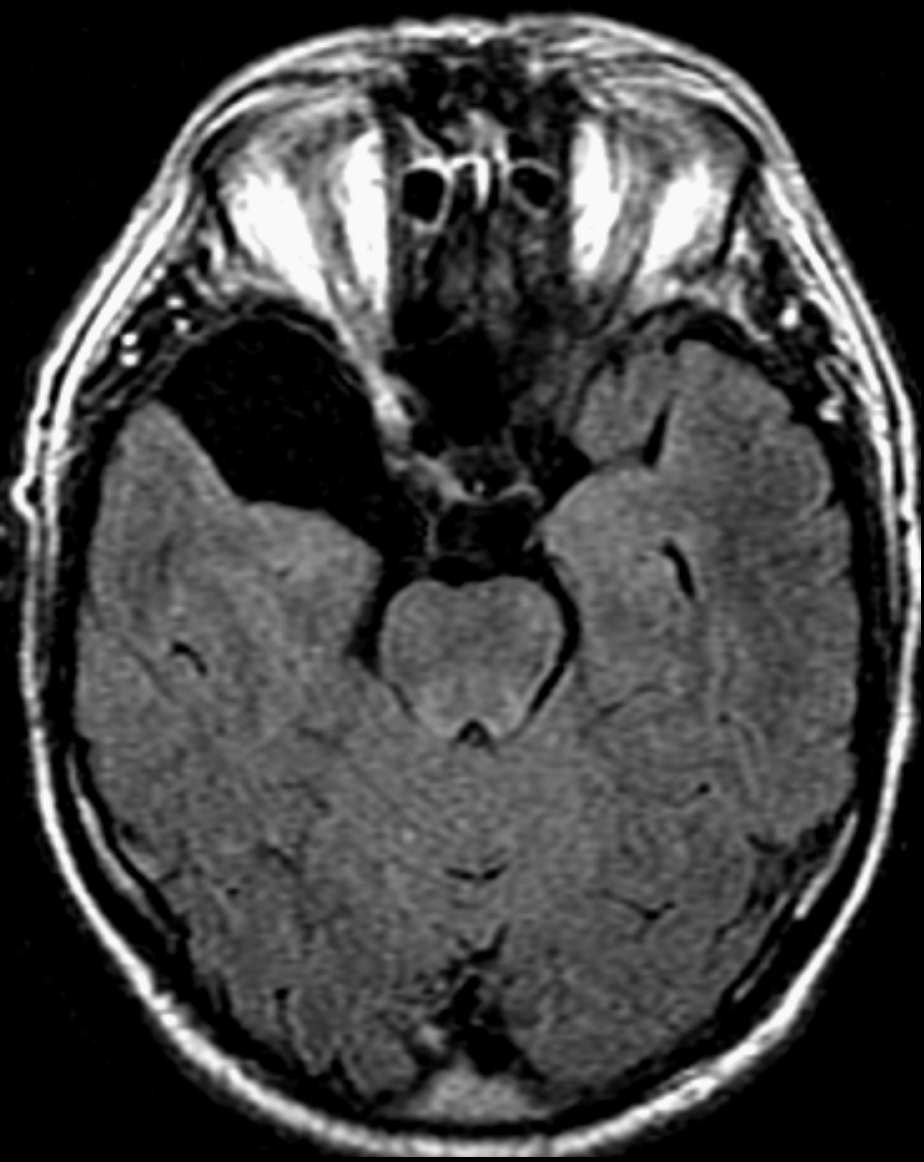


Jacquemart **kyste dermoïde rompu**

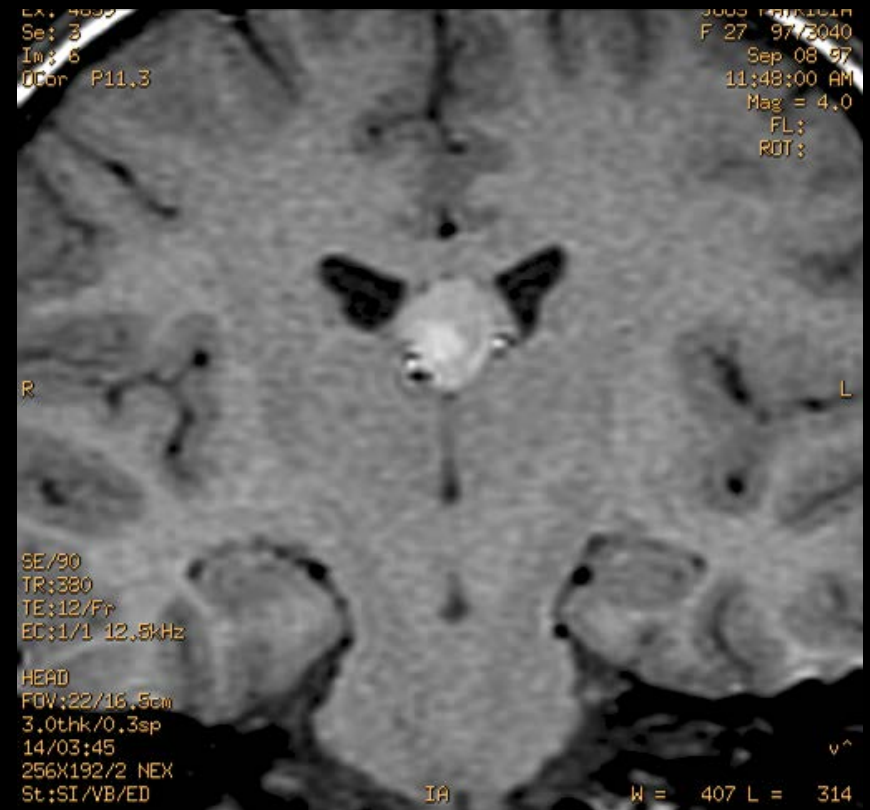
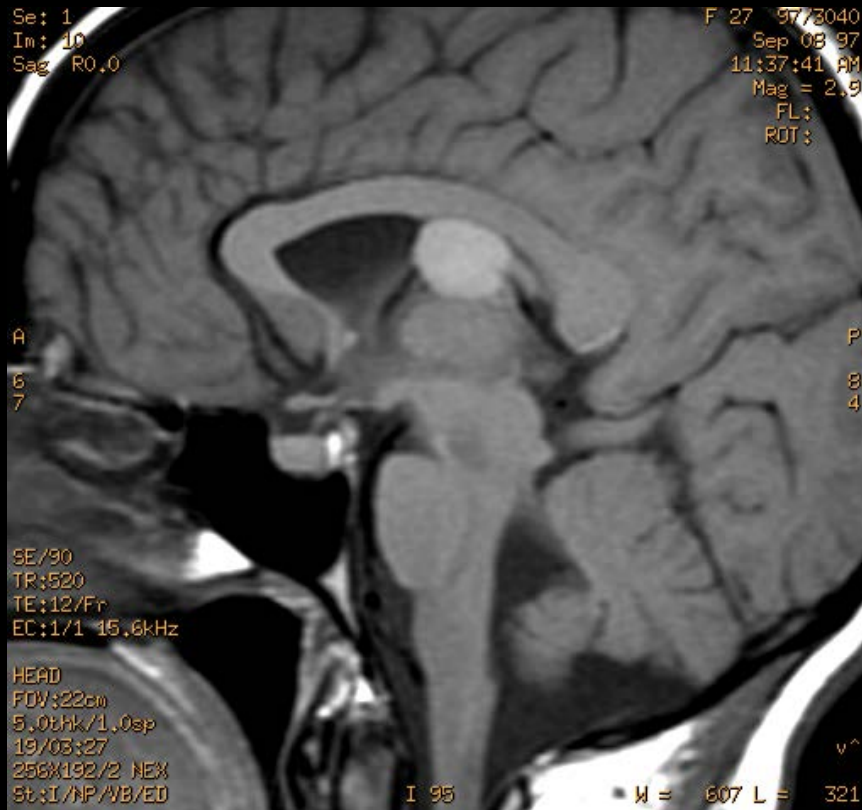
3-EAU (LCS)



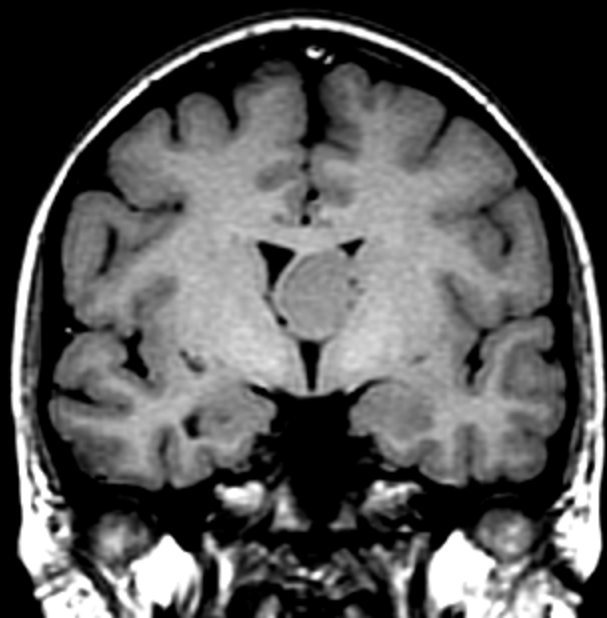
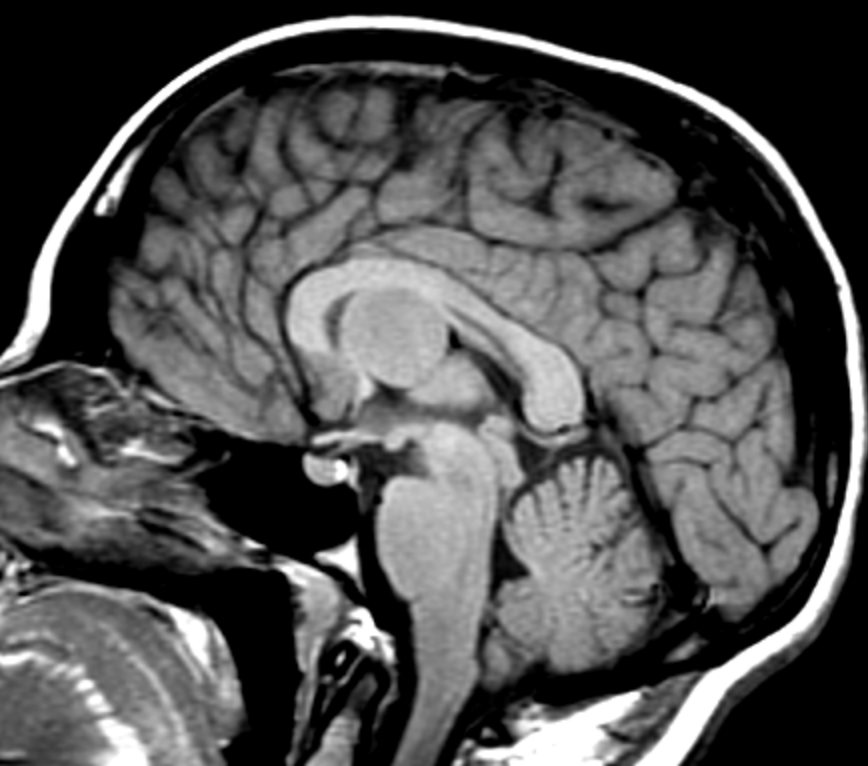
Kyste arachnoïdien



4-Liquide et Protéines

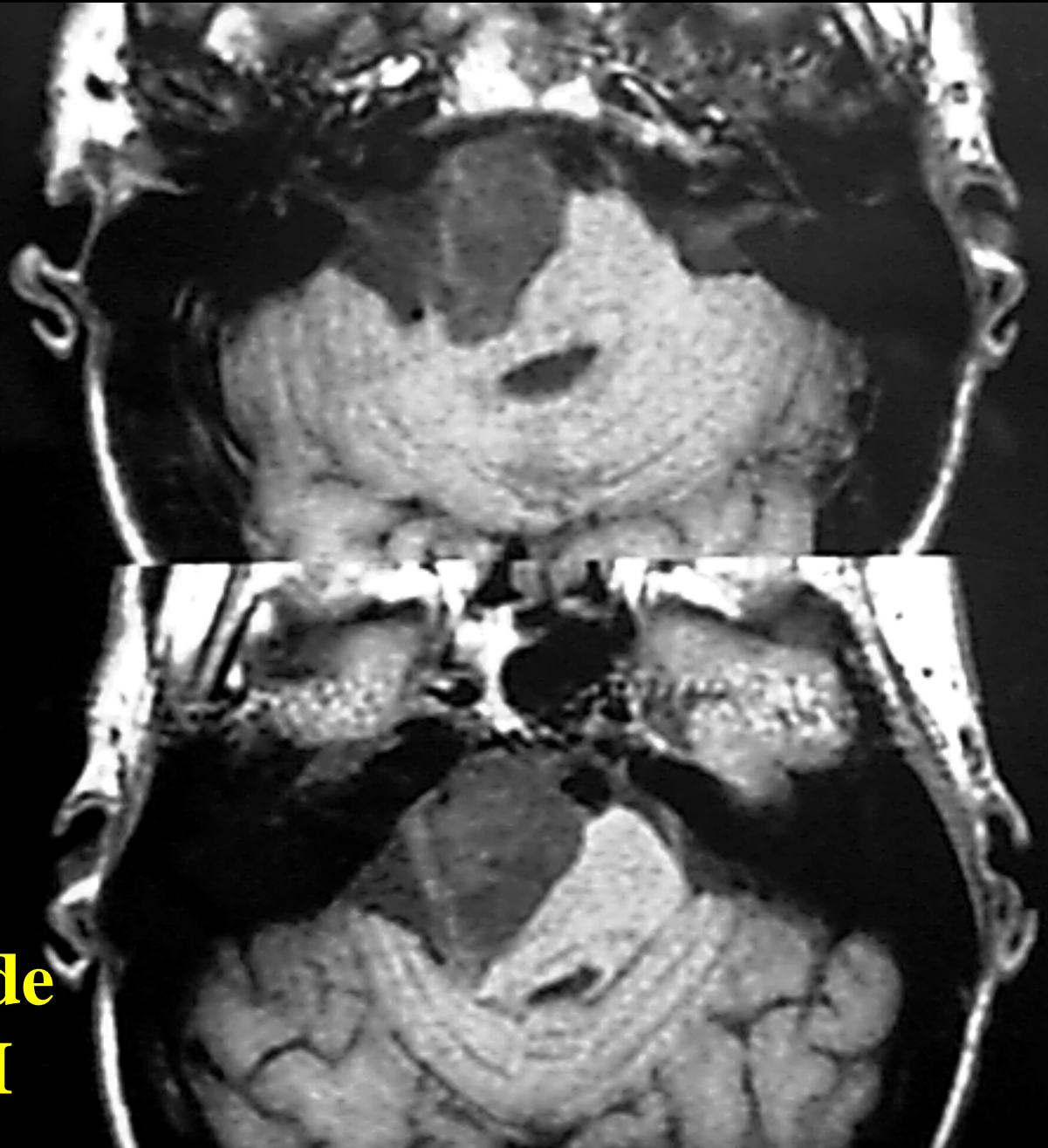


Kyste colloïde

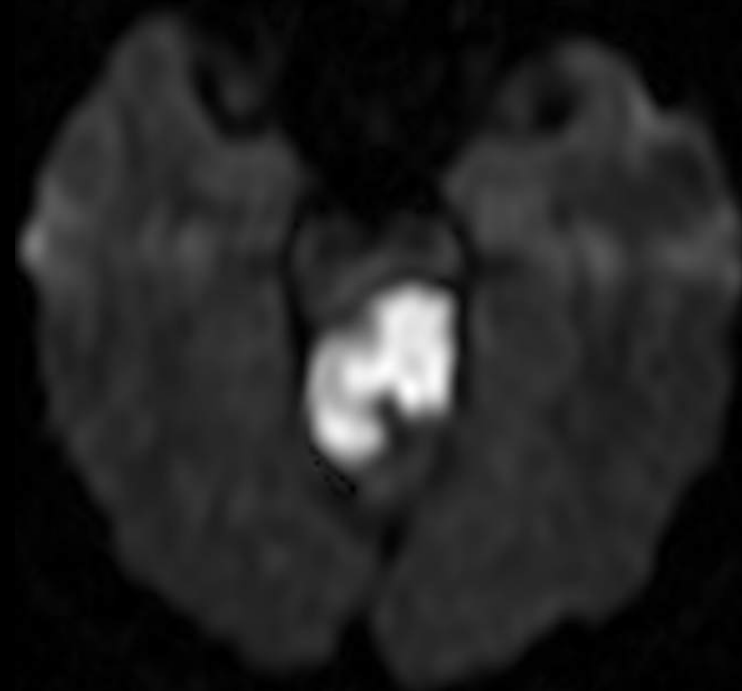
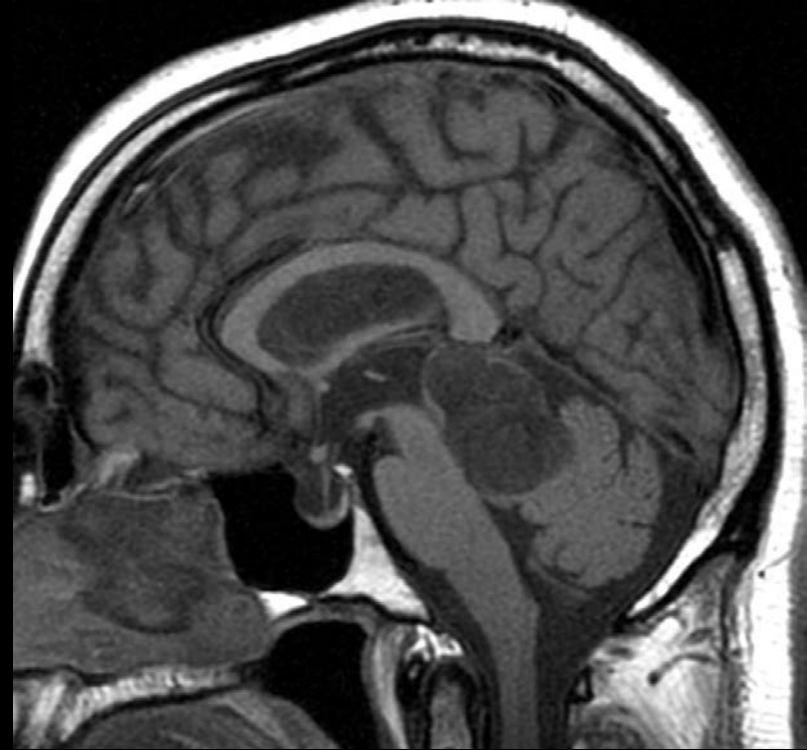
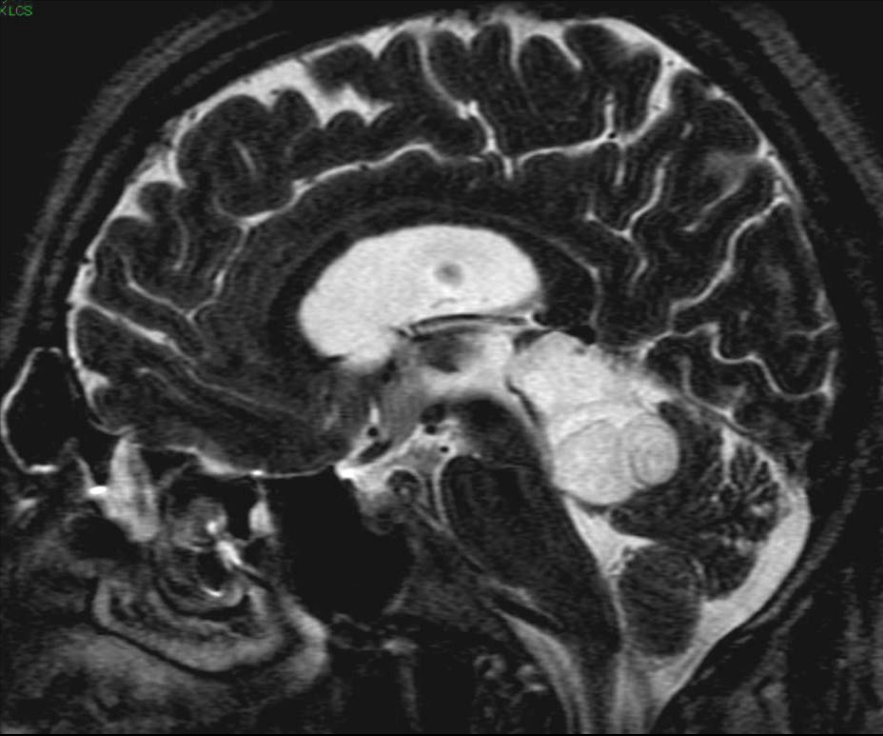


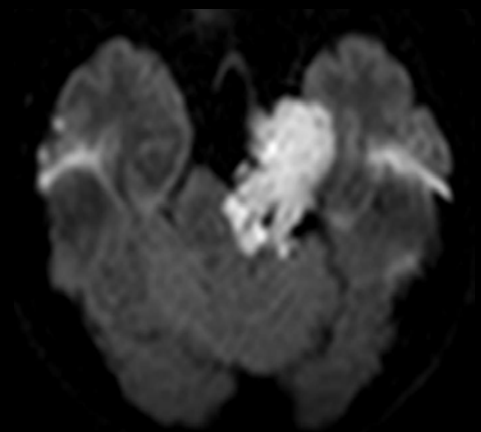
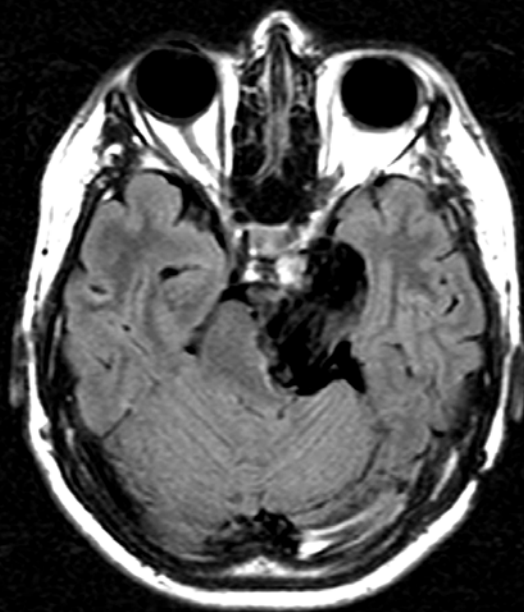
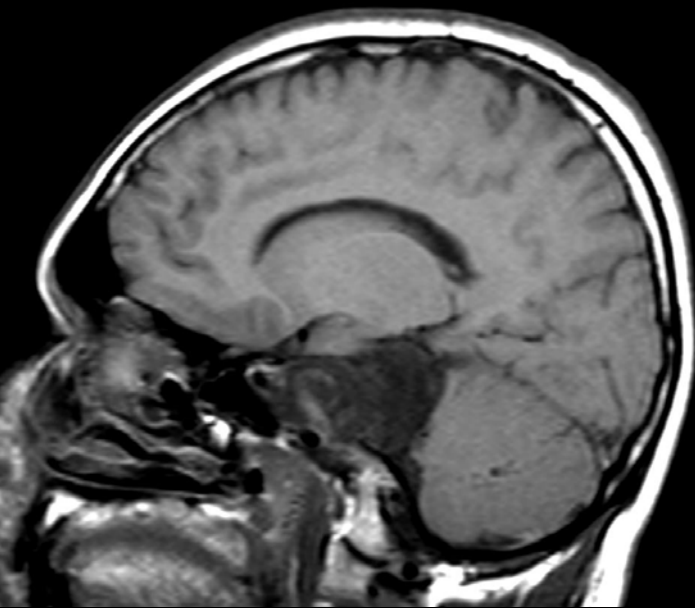
FLAIR

**5-Débris
cellulaires**



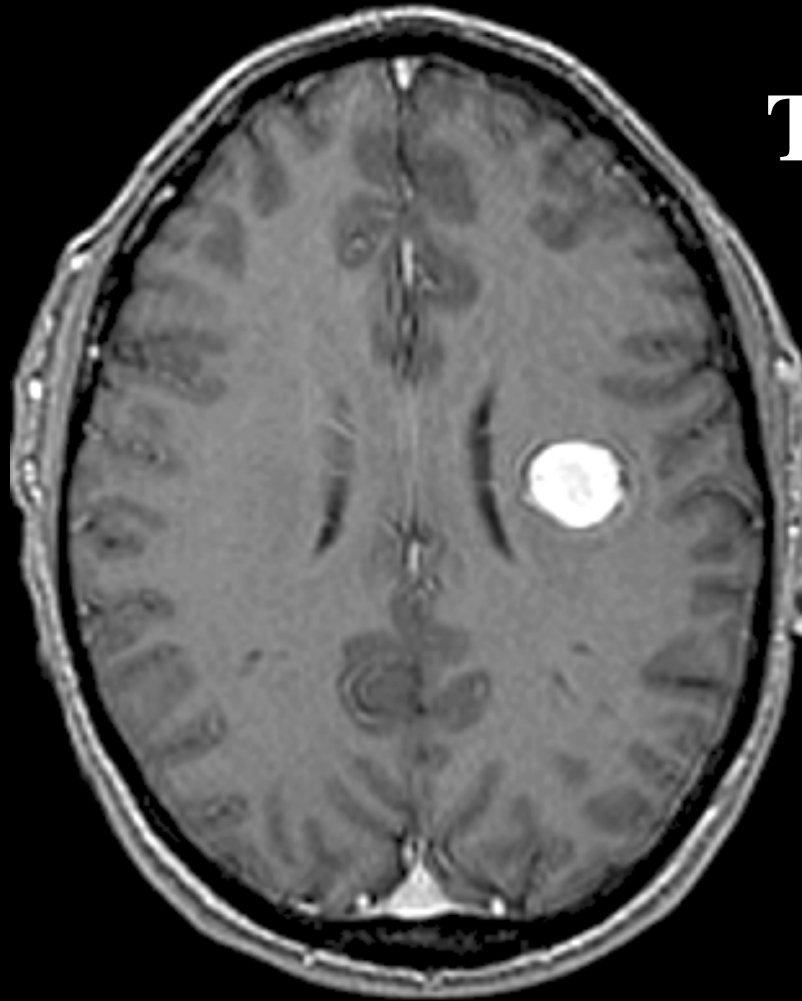
**Kyste épidermoïde
Cholestéatome I**



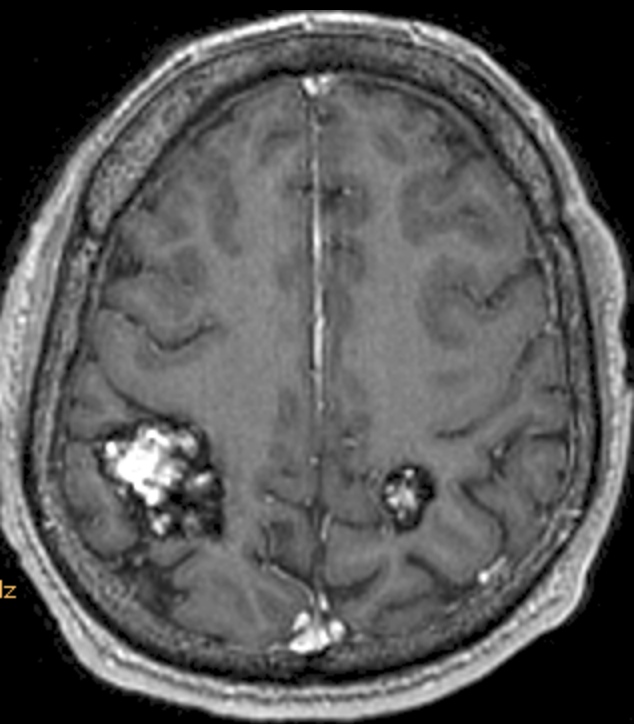


6-Sang

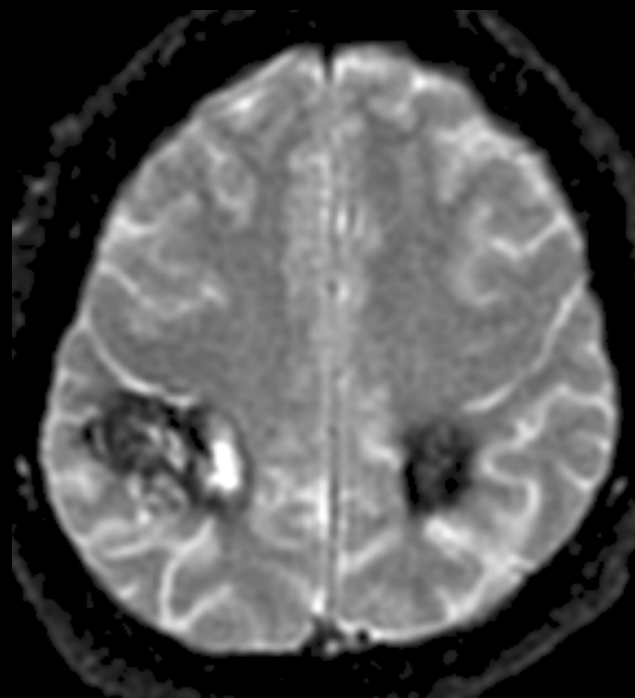
T1



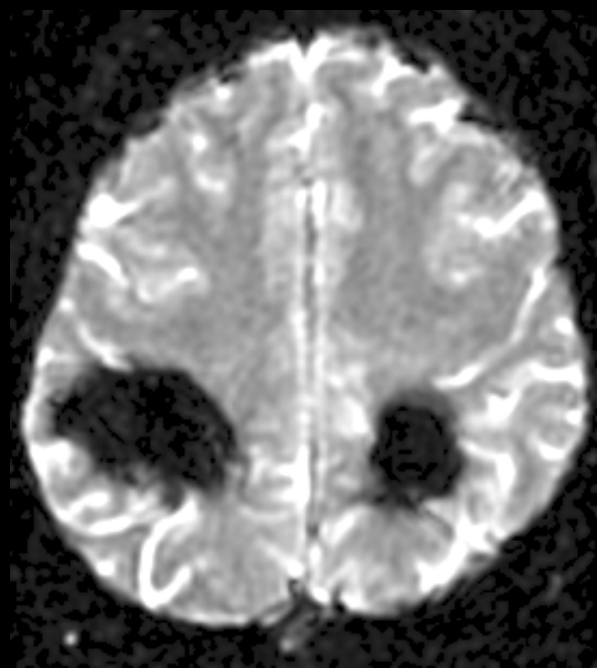
Cavernomes



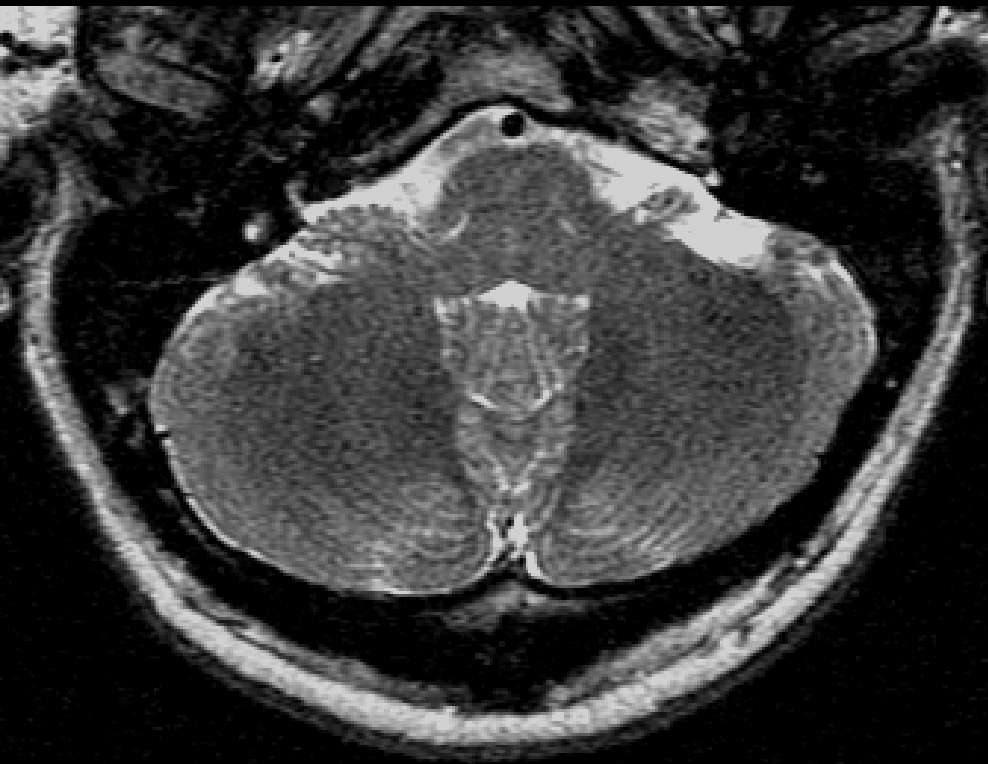
EG T1



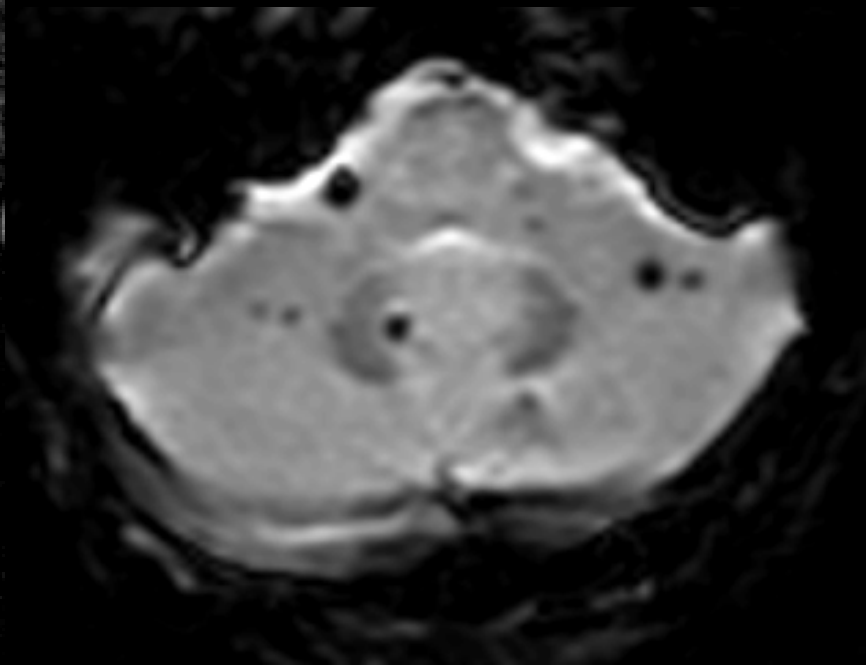
EG T2*



EG EPI T2*

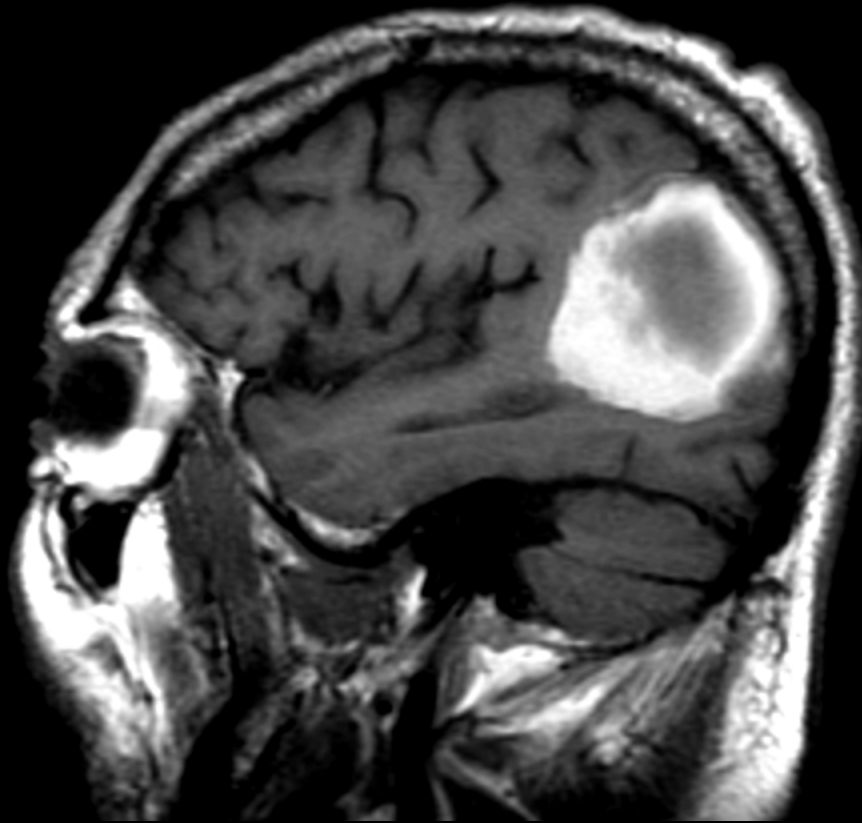


FSE T2

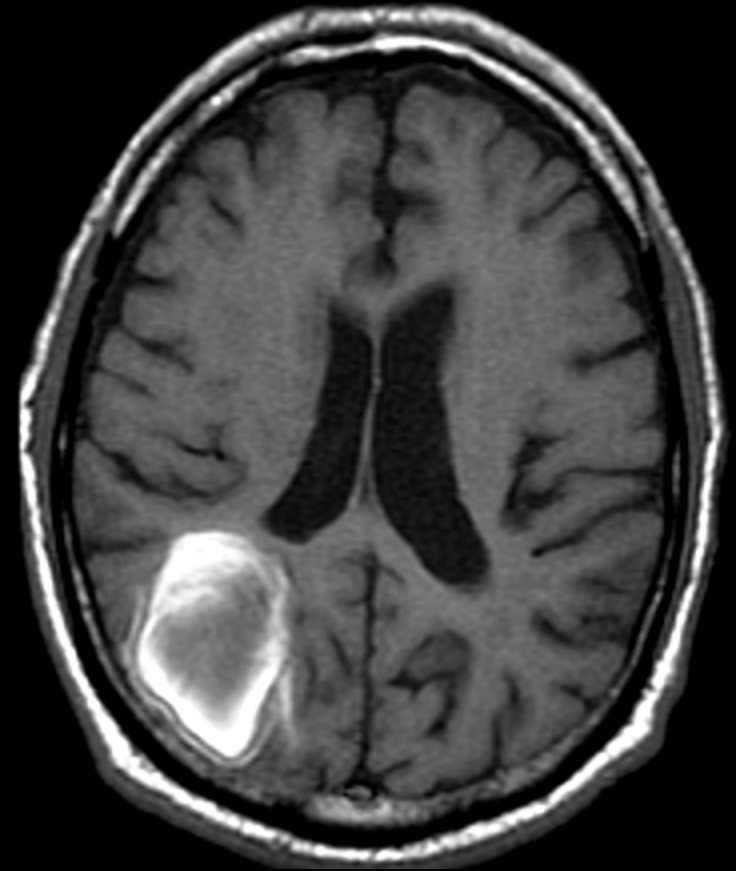


EPI-EG-T2*

T1



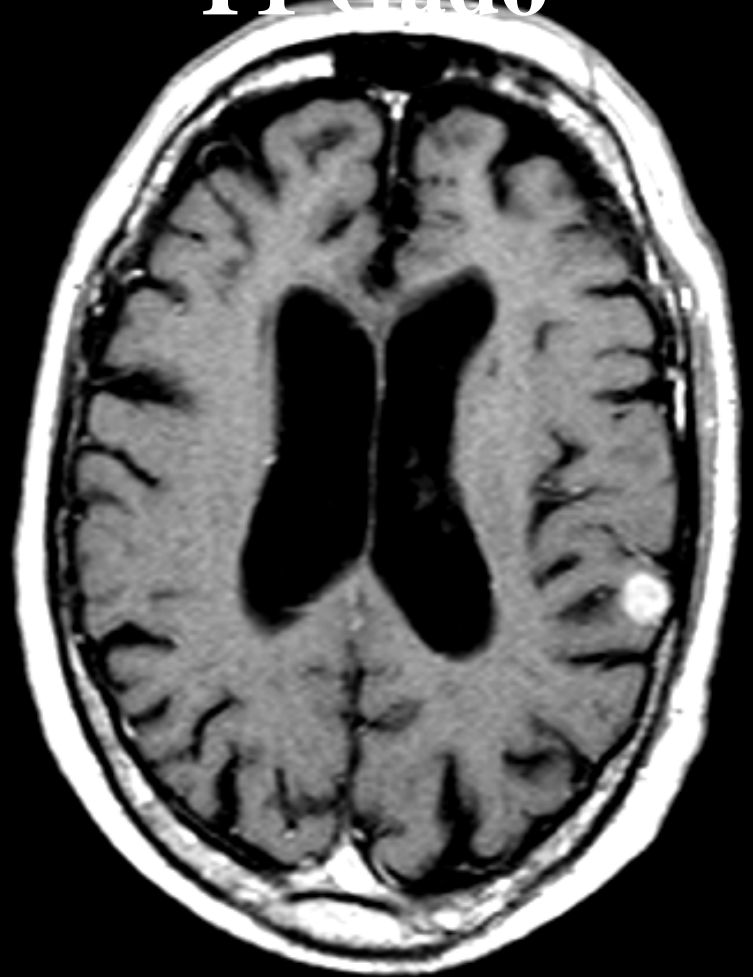
T1 gado



métastase hémorragique

T1

T1 Gado



métastase de mélanome

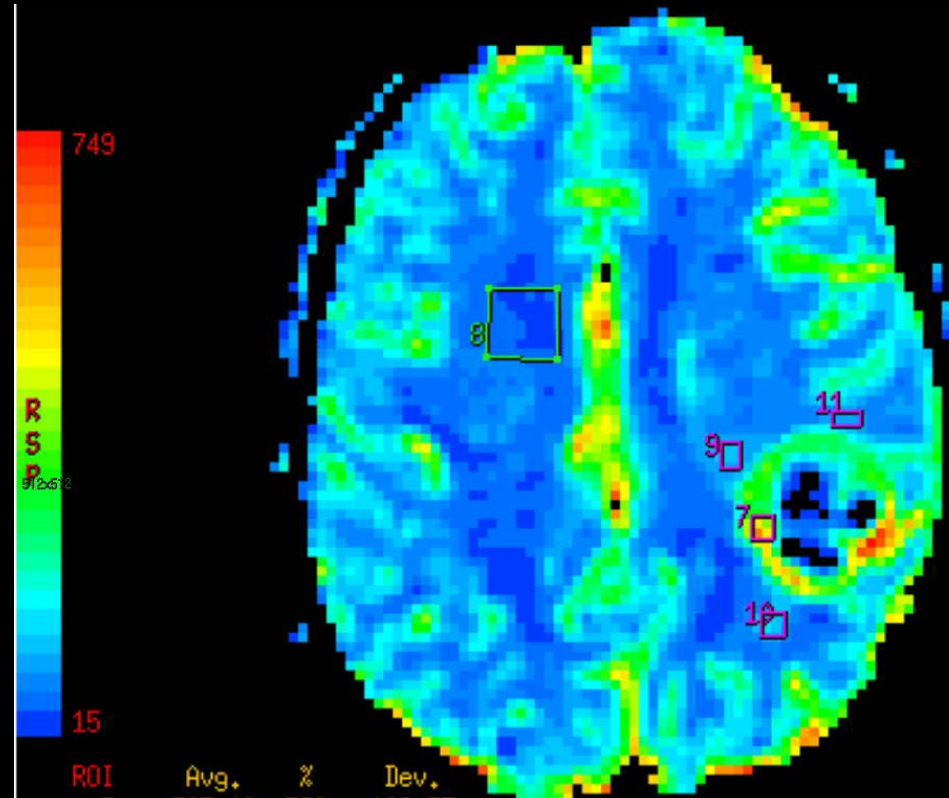
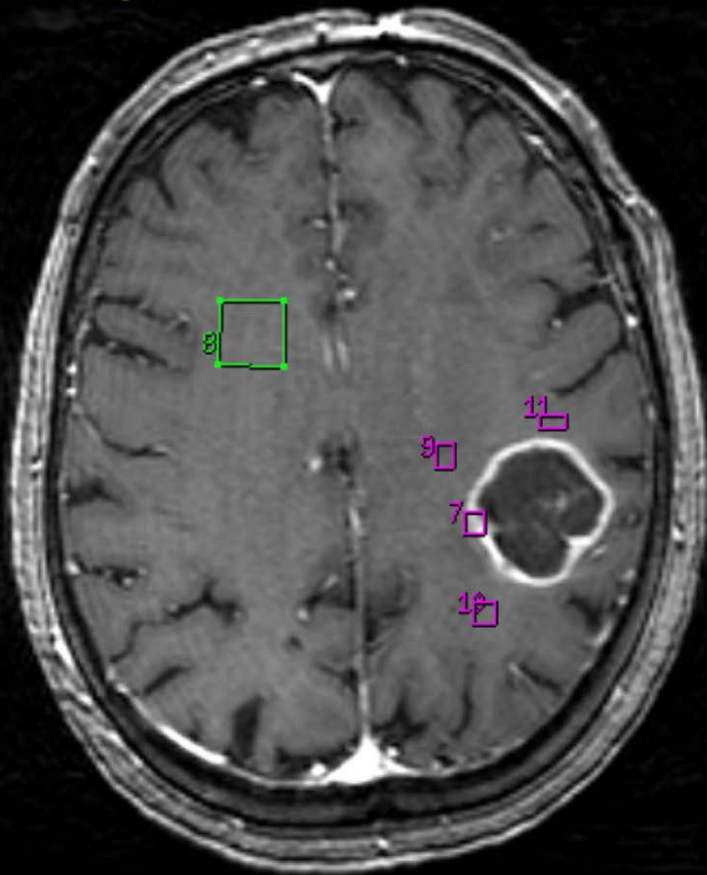
11-Néovascularisation

Imagerie de perfusion

rCBV

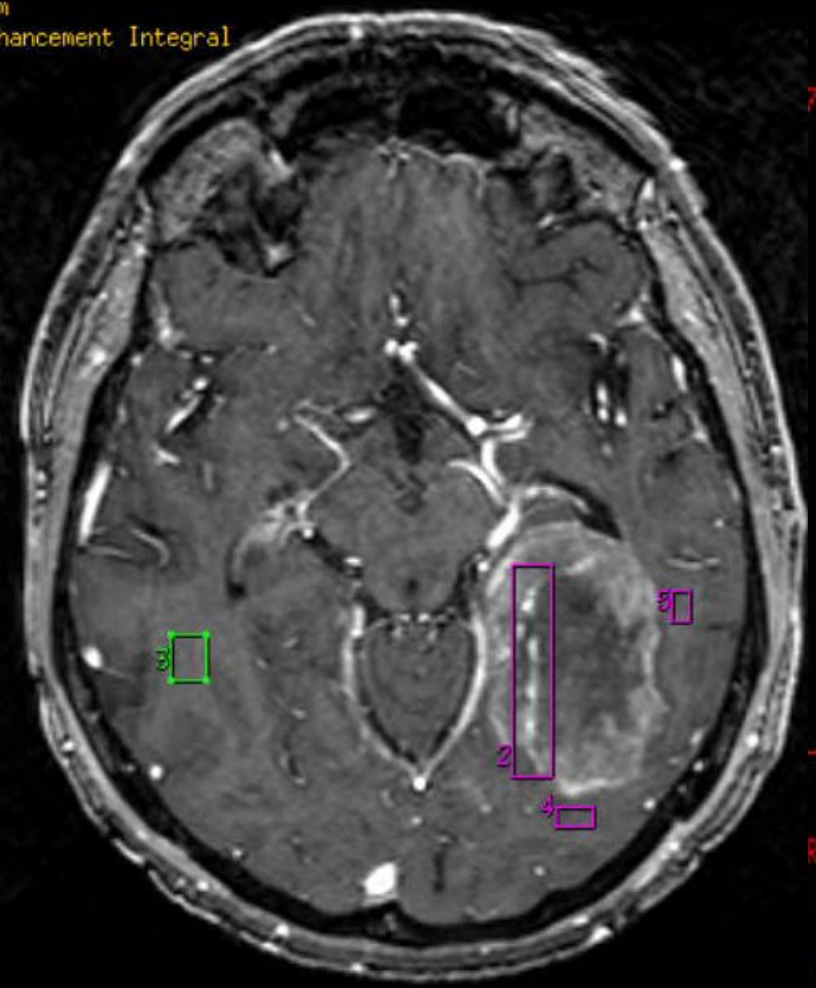
Tumeur infiltrante

ment Integral

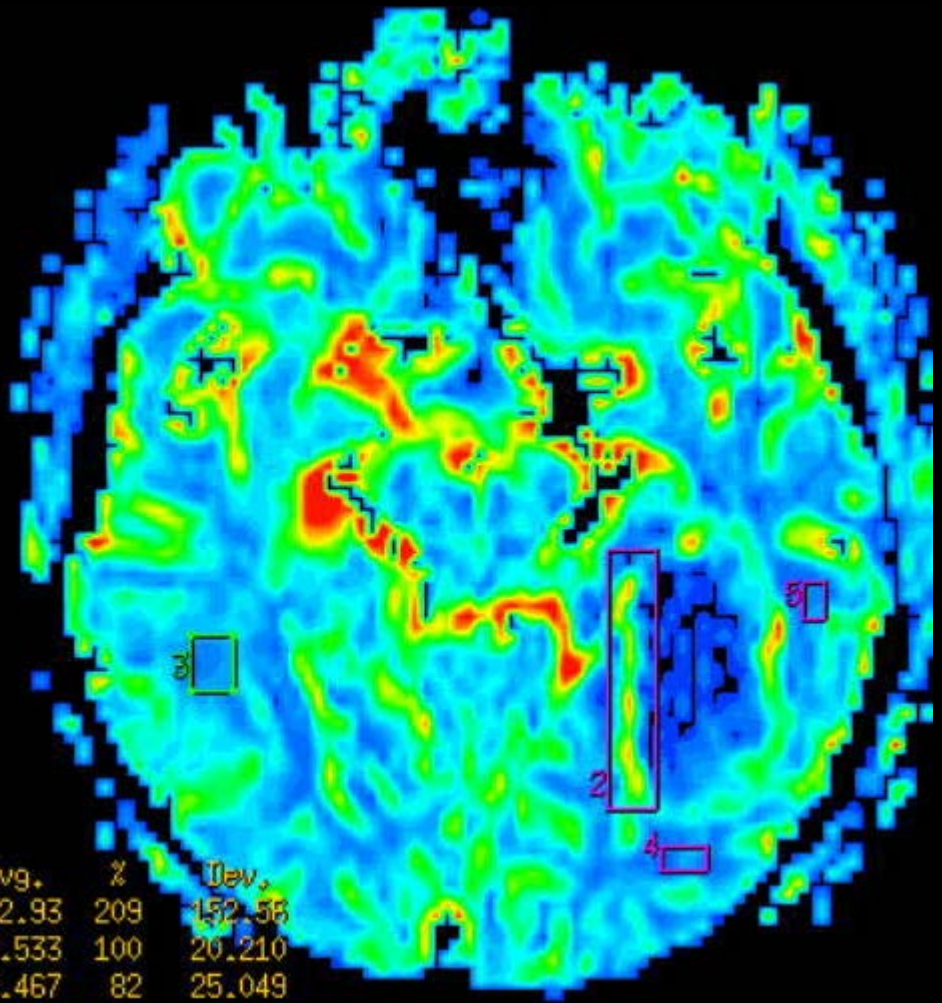


ROI	Avg.	%	Dev.
7	363.19	768	128.77
8	47.278	100	12.925
9	111.17	235	9.9986
10	108.50	229	21.529
11	114.50	242	31.114

Enhancement Integral



717



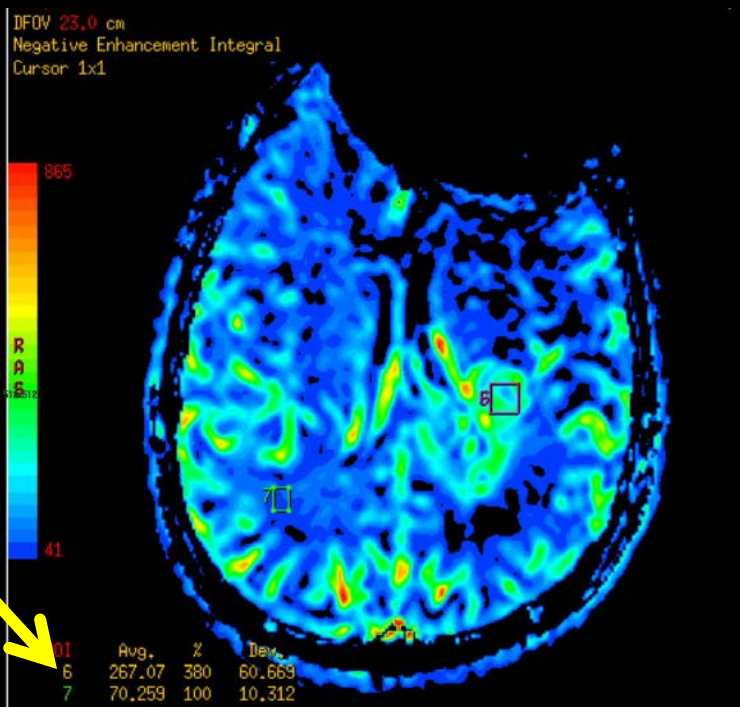
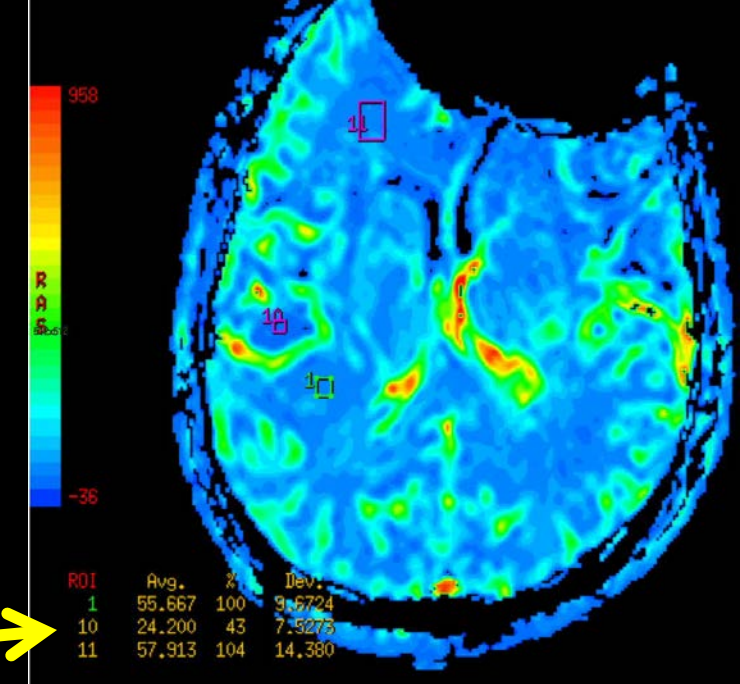
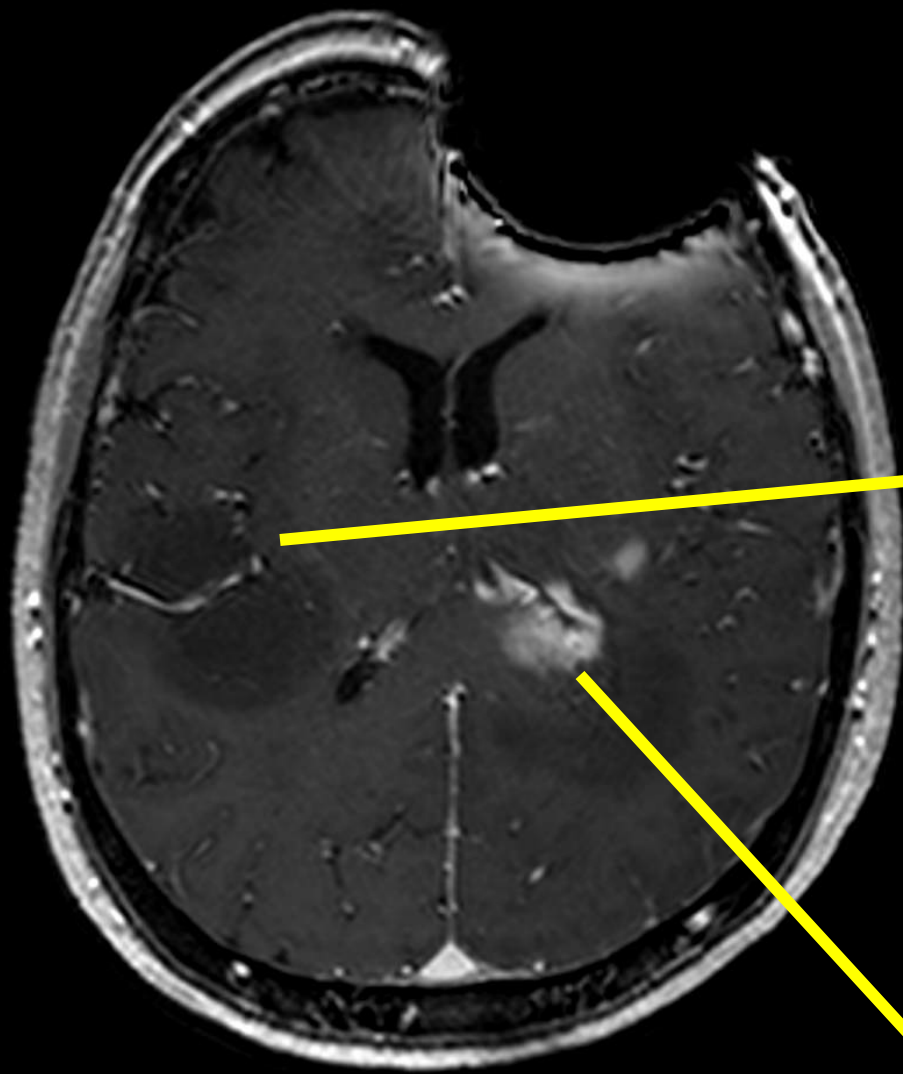
-15

ROI	Avg.	%	Dev.
2	132.93	209	152.55
3	63.533	100	20.210
4	52.467	82	25.049
5	50.333	79	16.028

Métastase

Astrocytome et glioblastome





12-Spectroscopie

